

Semiconductor silicon for microelectronics, power electronics and photonics, Russian scenario

F.A. Kuznetsov

Institute of Inorganic chemistry, Siberian Branch of
Russian academy of sciences



20th CODATA conference Beijing
24th October 2006

Semiconductor silicon – “hot” material of 21st century

Factors:

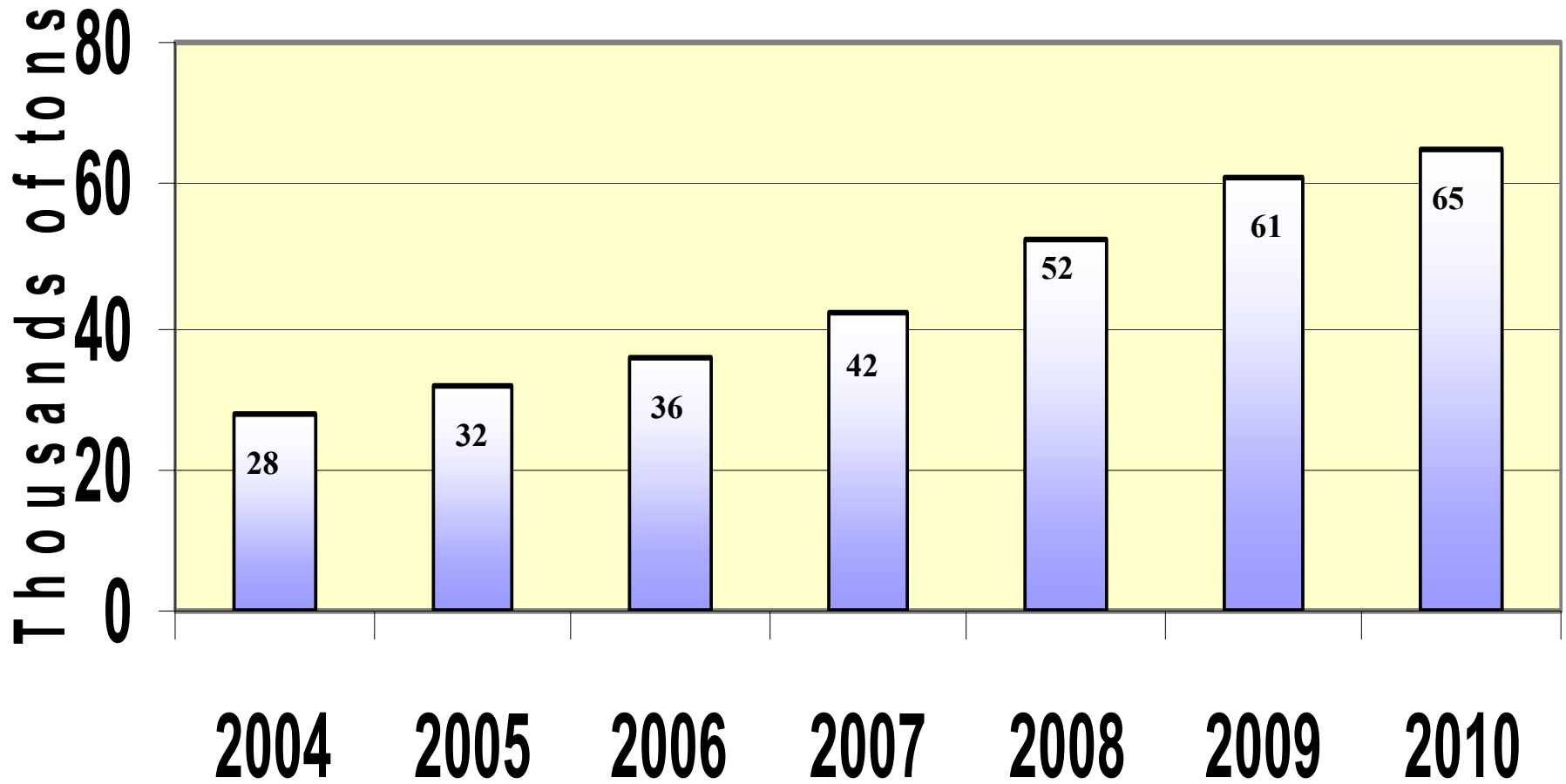
- Solar energy - demand already very high
- Power electronics – significant growth of demand “around the corner”

Huge growth of energy needs in:

- China
- India
- Russia
- Brazil

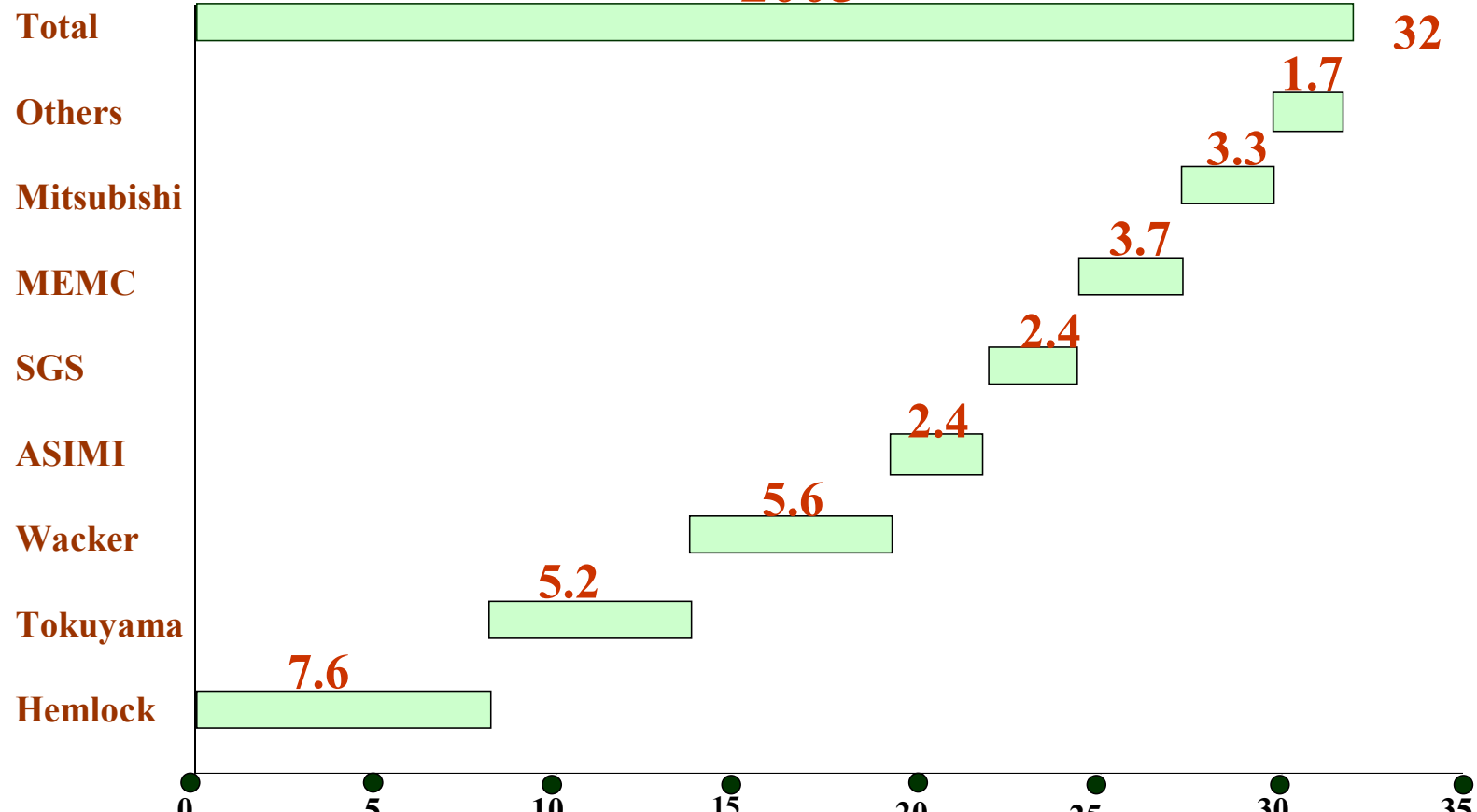
.....

Global Si production



Main world silicon producers

2005



Amount of silicon produces. Mtonns

Problems of silicon supply

- 1. Decrease of production cost***
- 2. Improving of material quality***
- 3. Reduction of environmental load of production***

What CODATA can do

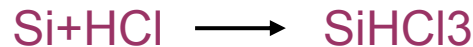
Modeling of silicon technology processes as a way to:

- Shorten period of technology development**
- Reduce cost of production**
- Utilize dangerous waste products**

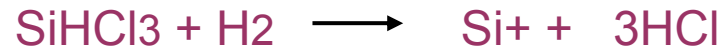
Siemens process

Simplified processing

1. Synthesis of main reagent trichlorosilane

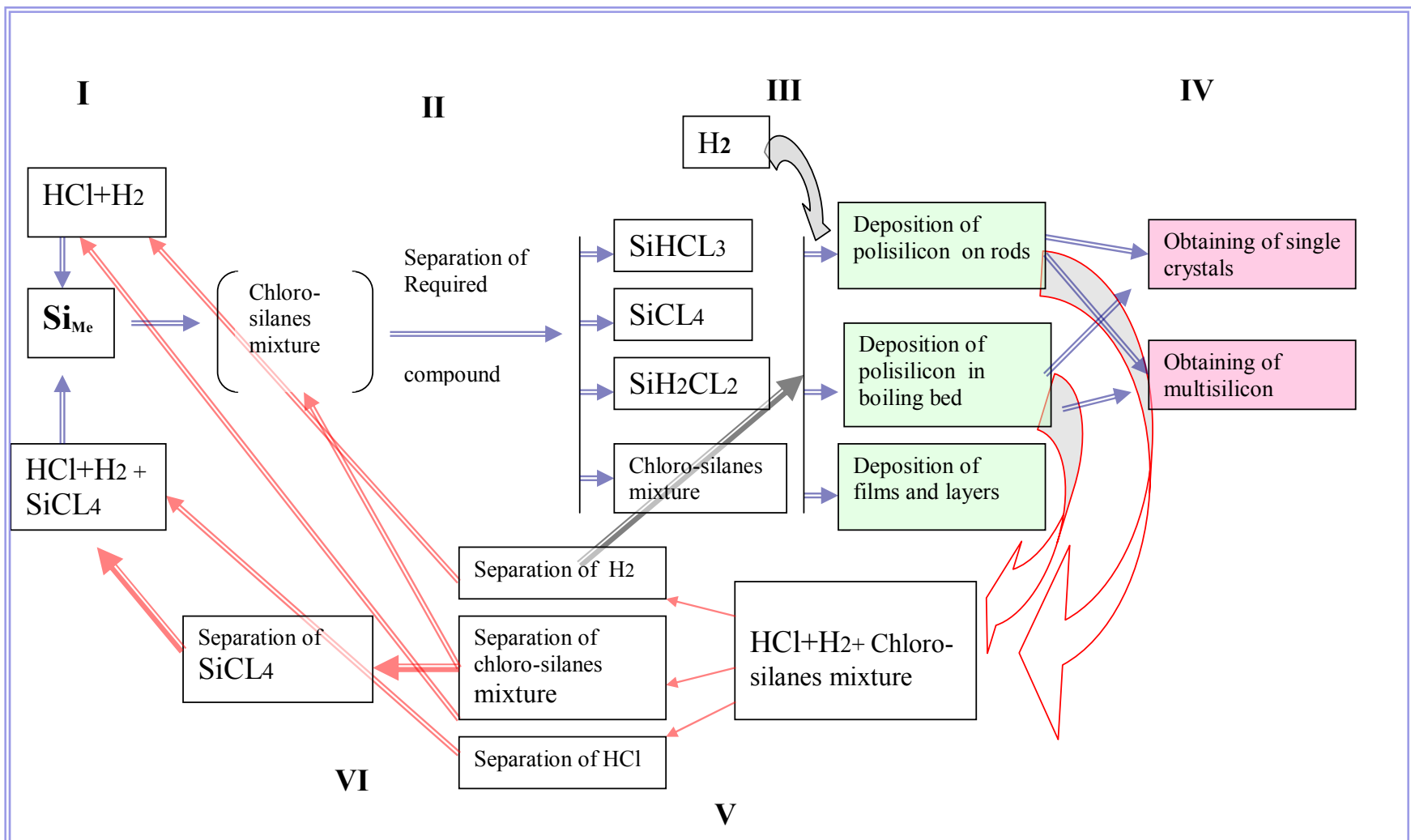


2. Obtaining of poly silicon



3. Growing of silicon single crystals

Main steps of Siemens process



The Si-H-Cl system

Gas species(21):

Si, Si₂, Si₃, H, H₂, Cl, Cl₂, HCl, SiCl, SiCl₂, SiCl₃, SiCl₄, Si₂Cl₆, SiHCl,
SiHCl₃, SiH₂Cl₂, SiH₃Cl, SiH, SiH₂, SiH₃, SiH₄.

18 or 19 independent chemical reactions.

Thermodynamic functions for species:

$\Delta_f H^0$, S⁰, Cp = f(T);

T = 25 - 1500° C

P = 0.5 - 10 atm

	Gas phase in equilibrium (condensed phase can be obtained only from gas phase)	Condensed phase always presents	Energy stimulated reaction (condensed phase can be obtained only from gas phase)
1	$H_2=2H$	$H_2=2H$	$H_2=2H$
2	$SiCl_4=SiCl_3+Cl$	$SiCl_4=SiCl_3+Cl$	$SiCl_4=SiCl_3+Cl$
3	$2Cl=Cl_2$	$2Cl=Cl_2$	$2Cl=Cl_2$
4	$H+Cl=HCl$	$H+Cl=HCl$	$H+Cl=HCl$
5	$SiCl_4=SiCl_2+Cl_2$	$SiCl_4=SiCl_2+Cl_2$	$SiCl_4=SiCl_2+Cl_2$
6	$SiCl_3=SiCl+Cl_2$	$SiCl_3=SiCl+Cl_2$	$SiCl_3=SiCl+Cl_2$
7	$SiCl=Si+Cl$	$SiCl=Si+Cl$	$SiCl=Si+Cl$
8	$Si+H=SiH$	$Si+H=SiH$	$Si+H=SiH$
9	$Si+H_2=SiH_2$	$Si+H_2=SiH_2$	$Si+H_2=SiH_2$
10	$SiH+H_2=SiH_3$	$SiH+H_2=SiH_3$	$SiH+H_2=SiH_3$
11	$SiH_2+H_2=SiH_4$	$SiH_2+H_2=SiH_4$	$SiH_2+H_2=SiH_4$
12	$SiH+Cl=SiHCl$	$SiH+CL=SiHCl$	$SiH+CL=SiHCl$
13	$SiHCl+H_2=SiH_3Cl$	$SiHCl+H_2=SiH_3Cl$	$SiHCl+H_2=SiH_3Cl$
14	$SiH_2+Cl_2=SiH_2Cl_2$	$SiH_2+Cl_2=SiH_2Cl_2$	$SiH_2+Cl_2=SiH_2Cl_2$
15	$SiHCl+Cl_2=SiHCl_3$	$SiHCl+Cl_2=SiHCl_3$	$SiHCl+Cl_2=SiHCl_3$
16	$2Si=Si_2$	$2Si=Si_2$	$2Si=Si_2$
17	$3Si=Si_3$	$3Si=Si_3$	$3Si=Si_3$
18	$2SiCl_3=Si_2Cl_6$	$2SiCl_3=Si_2Cl_6$	$2SiCl_3=Si_2Cl_6$
19	$P_{Si}^{*}=RT\sum\alpha_{I, Si}n/V=$ $=\sum\alpha_{I, Si}n*P_I$	$Si=Si(cr)$	$P_{Si}=\exp(\partial E / \partial n_{Si} - \mu_{Si}^0)$
20	$P_H^{*}=\alpha_{I, H}*P_I$	$P_H^{*}=\alpha_{I, H}*P_I$	$P_H^{*}=\alpha_{I, H}*P_I$
21	$P_{Cl}^{*}=\sum\alpha_{I, Cl}*P_I$	$P_{Cl}^{*}=\sum\alpha_{I, Cl}*P_I$	$P_{Cl}^{*}=\sum\alpha_{I, Cl}*P_I$

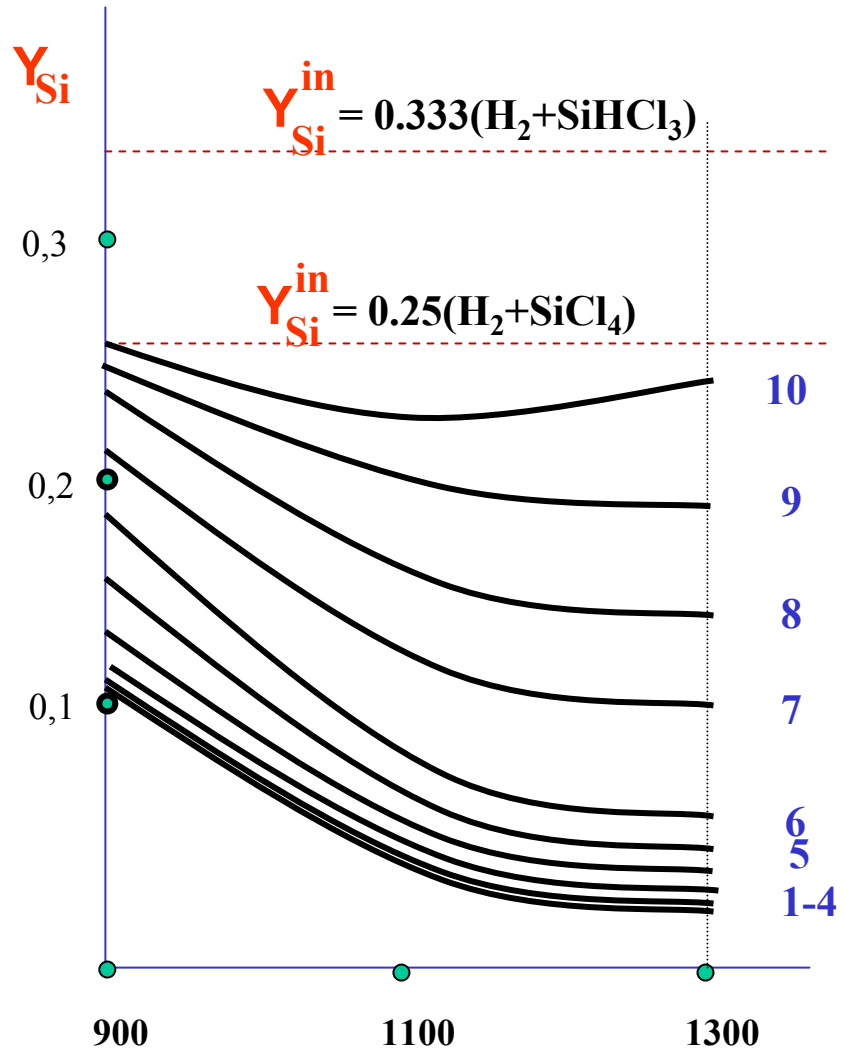
Values obtained by calculation

1. Partial pressures of gas species P_i
2. Relative solubility of silicon

$$Y_{Si} = n_{Si}/n_{cl} = \sum k_{Si}P_i / \sum k_{cl}P_i$$

3. Yeald of silicon

$$\frac{(Y_{Si})_{in} - (Y_{Si})_{eq}}{(Y_{Si})_{in}}$$



$$Y_{Si} = \frac{n_{Si}}{n_{Cl}}$$

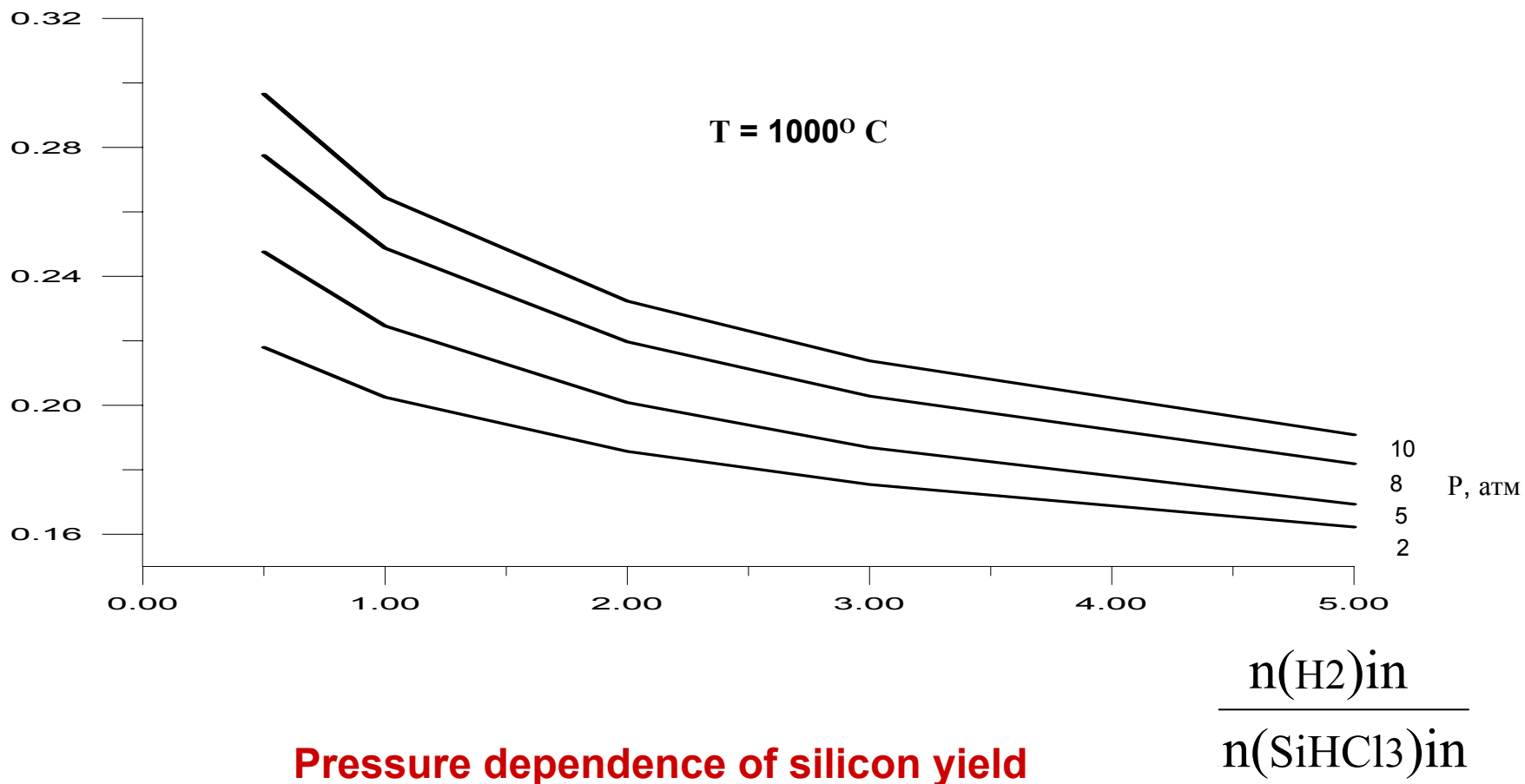
$$Q = \frac{n_{Cl}}{n_H}$$

Values of Q:

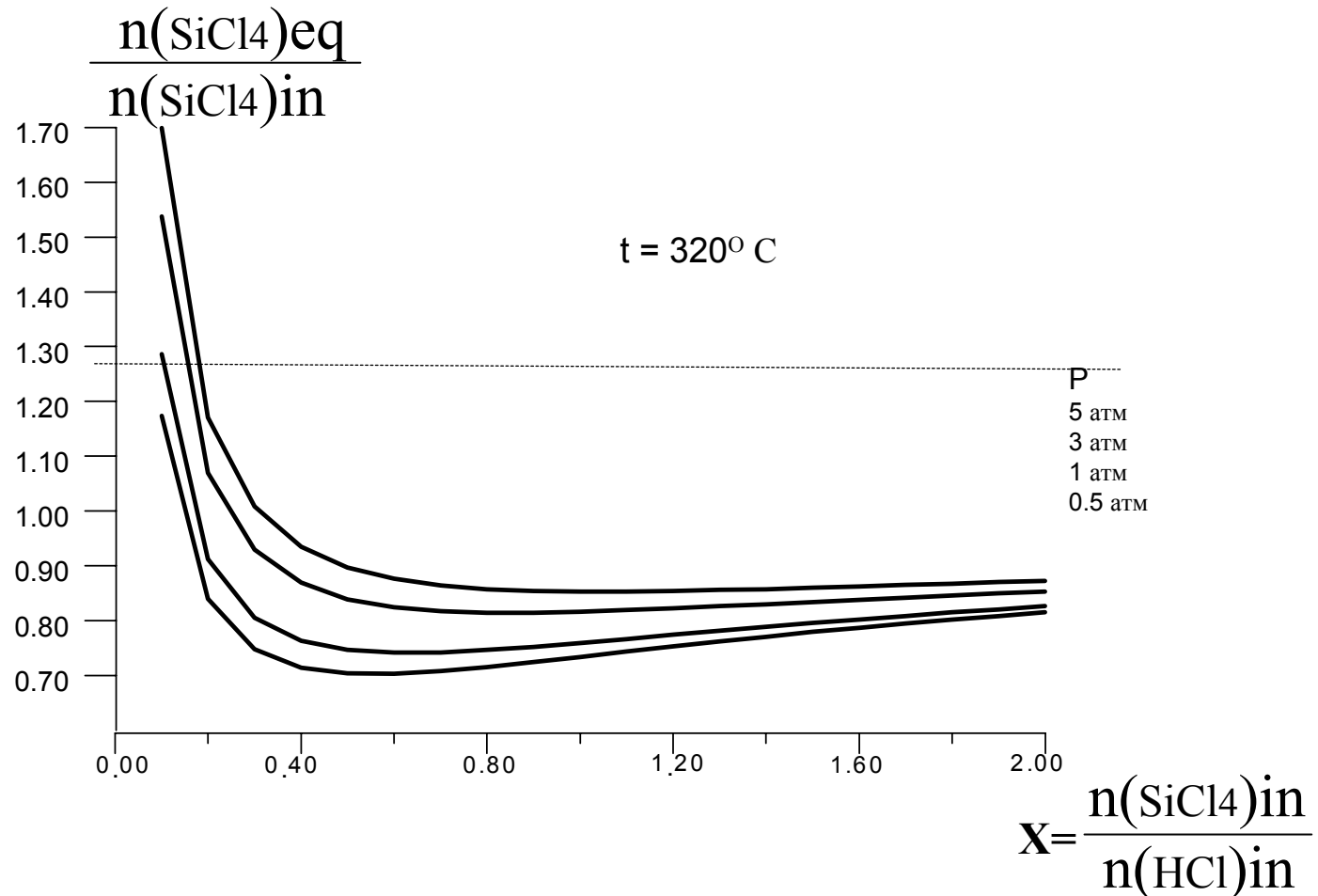
- | | |
|------------|------------|
| 1 - 0,001; | 6- 0,032 |
| 2 - 0,002; | 7 - 0,064 |
| 3 - 0,004 | 8 – 0,128 |
| 4 - 0,008 | 9 – 0,256 |
| 5 - 0,016 | 10 – 0,512 |

Reduction of SiHCl₃

$$\frac{(n_{Si})_{sol}}{n(SiHCl_3)_{in}}$$



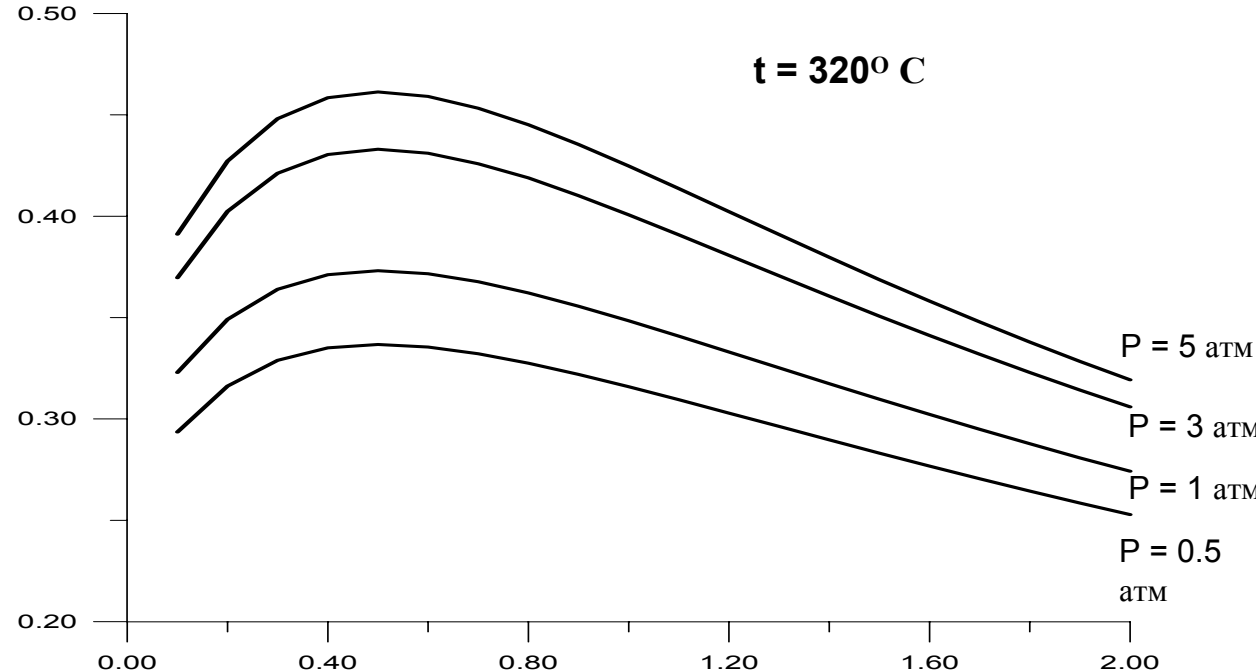
Dissolving of metallurgical silicon



Conversion of SiCl_4 in reactor for $\text{Si}(\text{Me})$ etching

Dissolving of metallurgical silicon

$$\frac{n(\text{SiHCl}_3) \text{ eq}}{n(\text{HCl})\text{in} + n(\text{SiCl}_4)\text{in}}$$

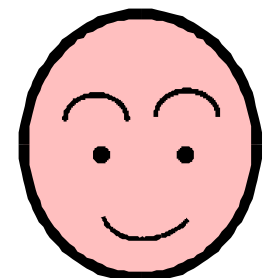
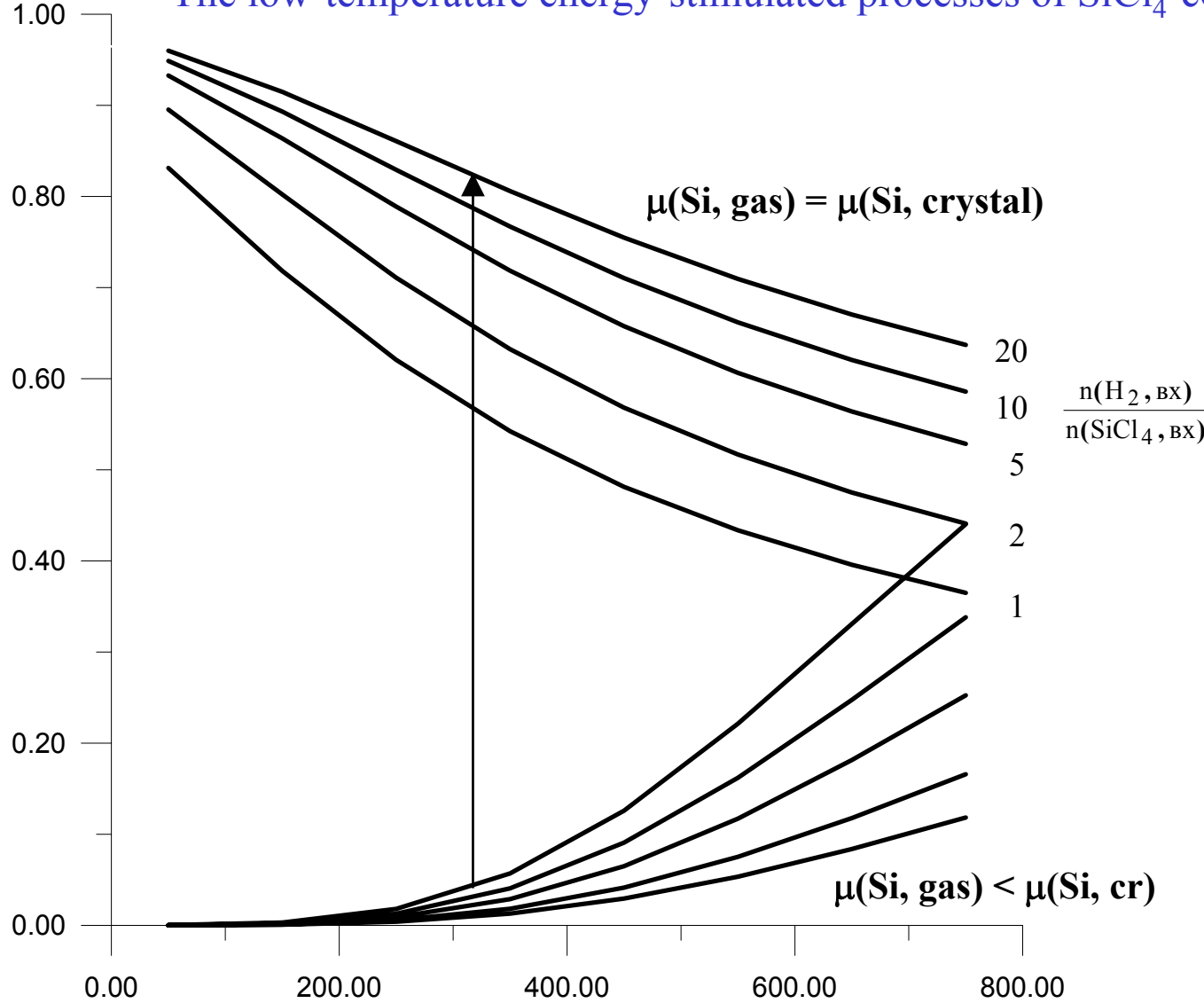


$$X = \frac{n(\text{SiCl}_4)\text{in}}{n(\text{HCl})\text{in}}$$

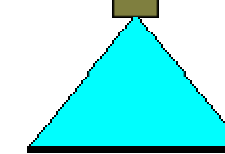
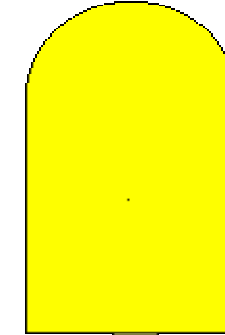
Productivity of reactor for synthesis of SiHCl_3

Grows of SiHCl₃ yield under forced increasing of $\mu(\text{Si, gas})$

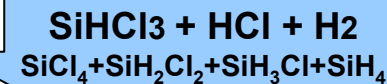
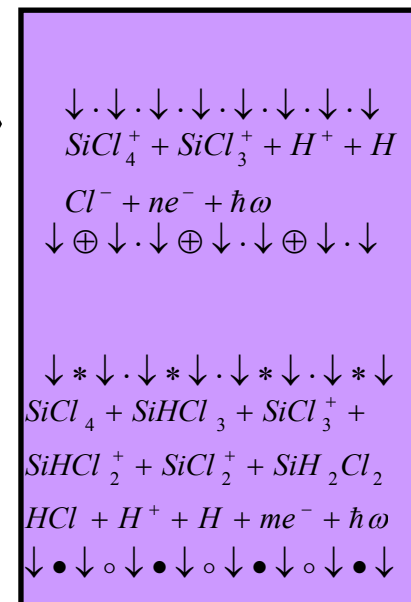
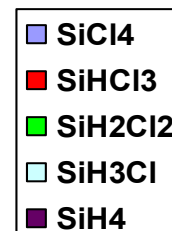
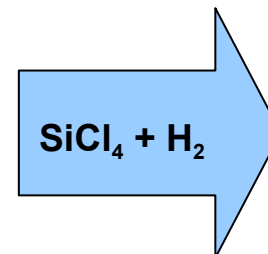
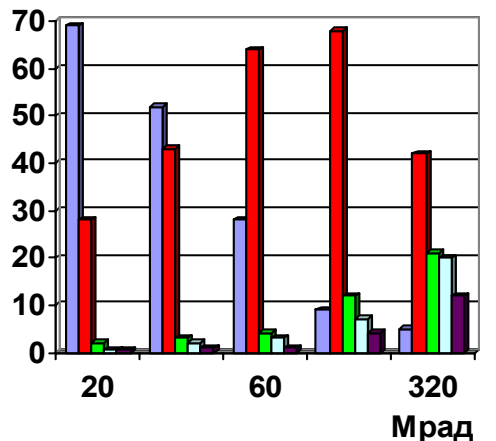
The low-temperature energy-stimulated processes of SiCl₄ conversion



Conversion of SiCl₄ under electron beam



Content of different hydrochlorides in reaction products as a function of irradiation dose.
(10 M rad = 4,1 Kcal/mol)



CONTROL SYSTEM

POWER SUPPLY

FREQUENCY
CONVERTER

CAPACITOR BANK

COOLING SYSTEM

DEFLECTING SYSTEM

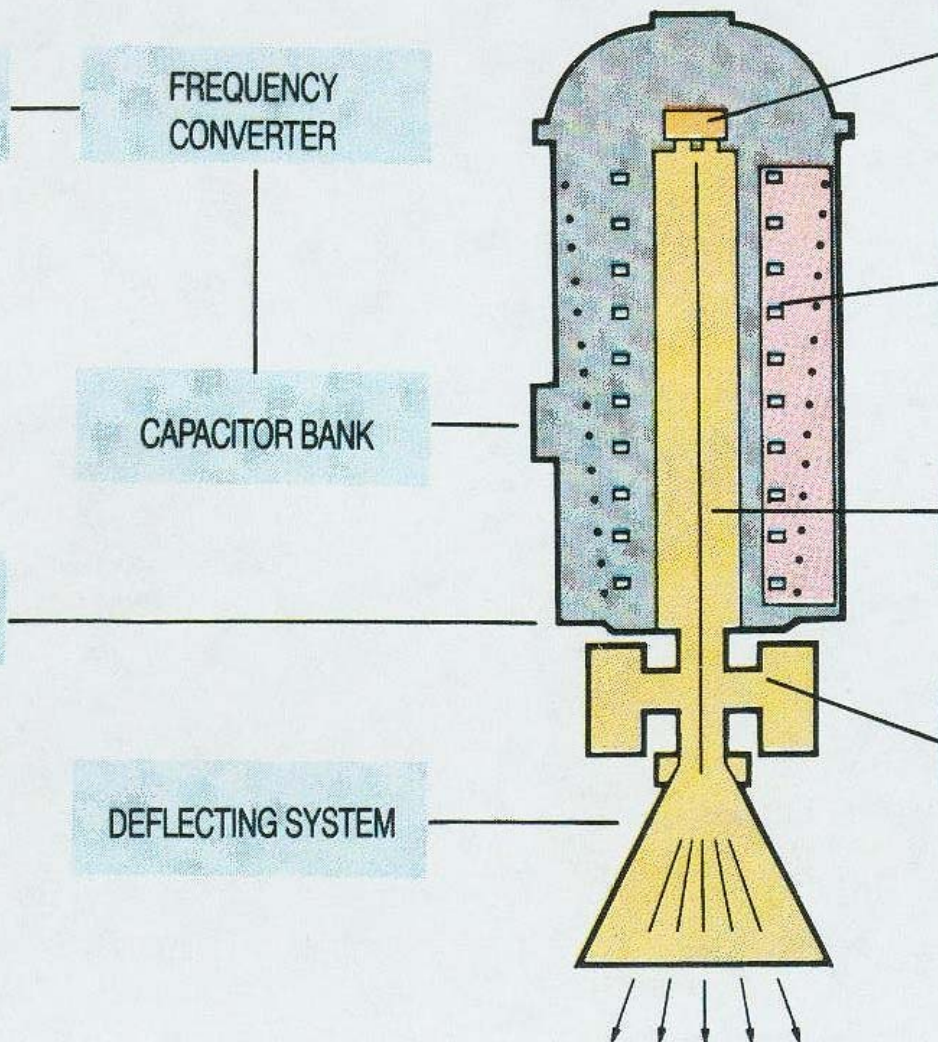
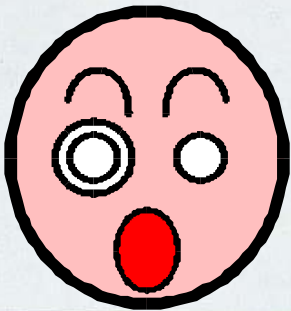
ELECTRON GUN

HIGH VOLTAGE
GENERATOR

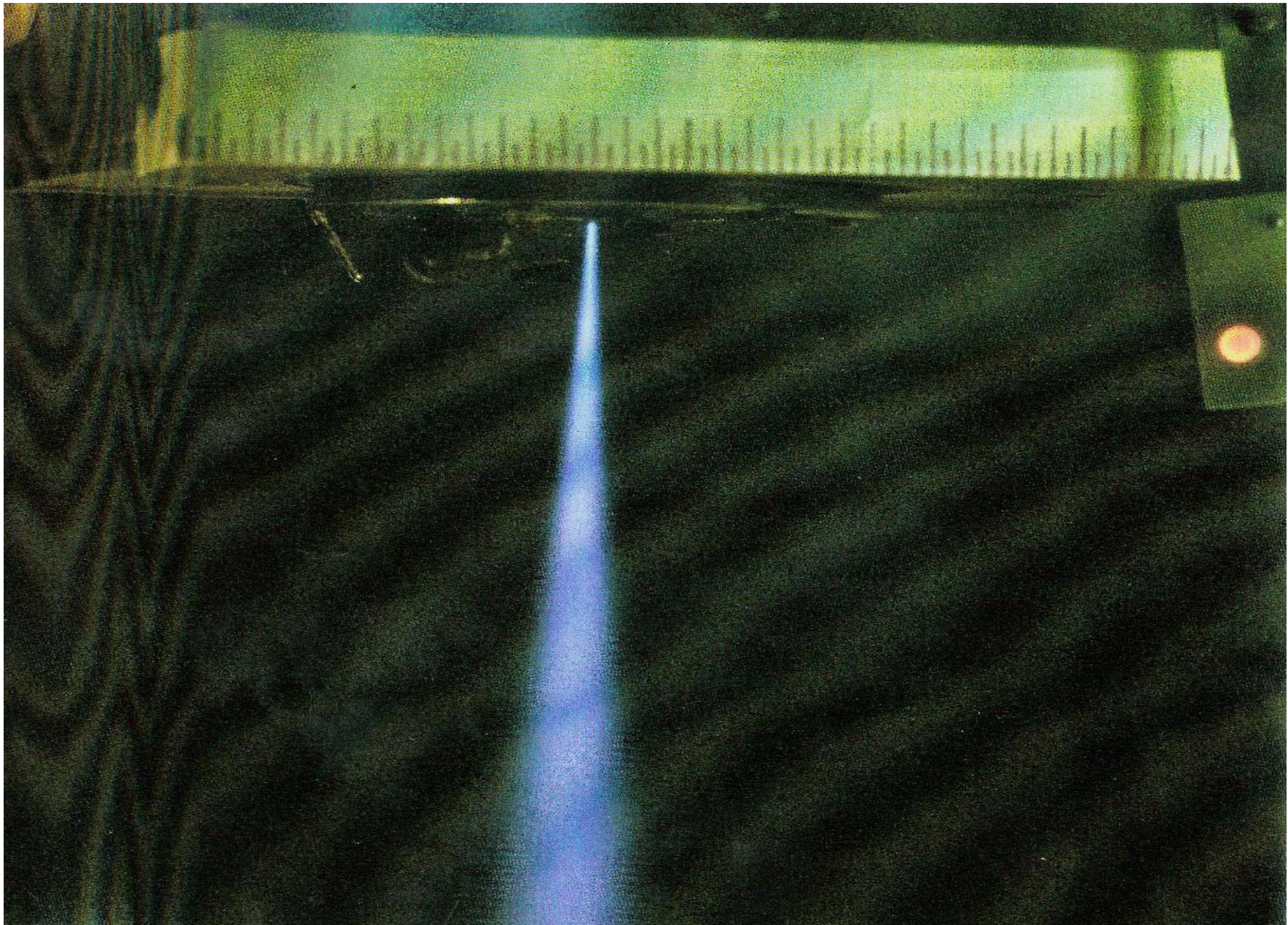
ACCELERATOR TUBE

MAGNETIC
DISCHARGE PUMP

TARGET



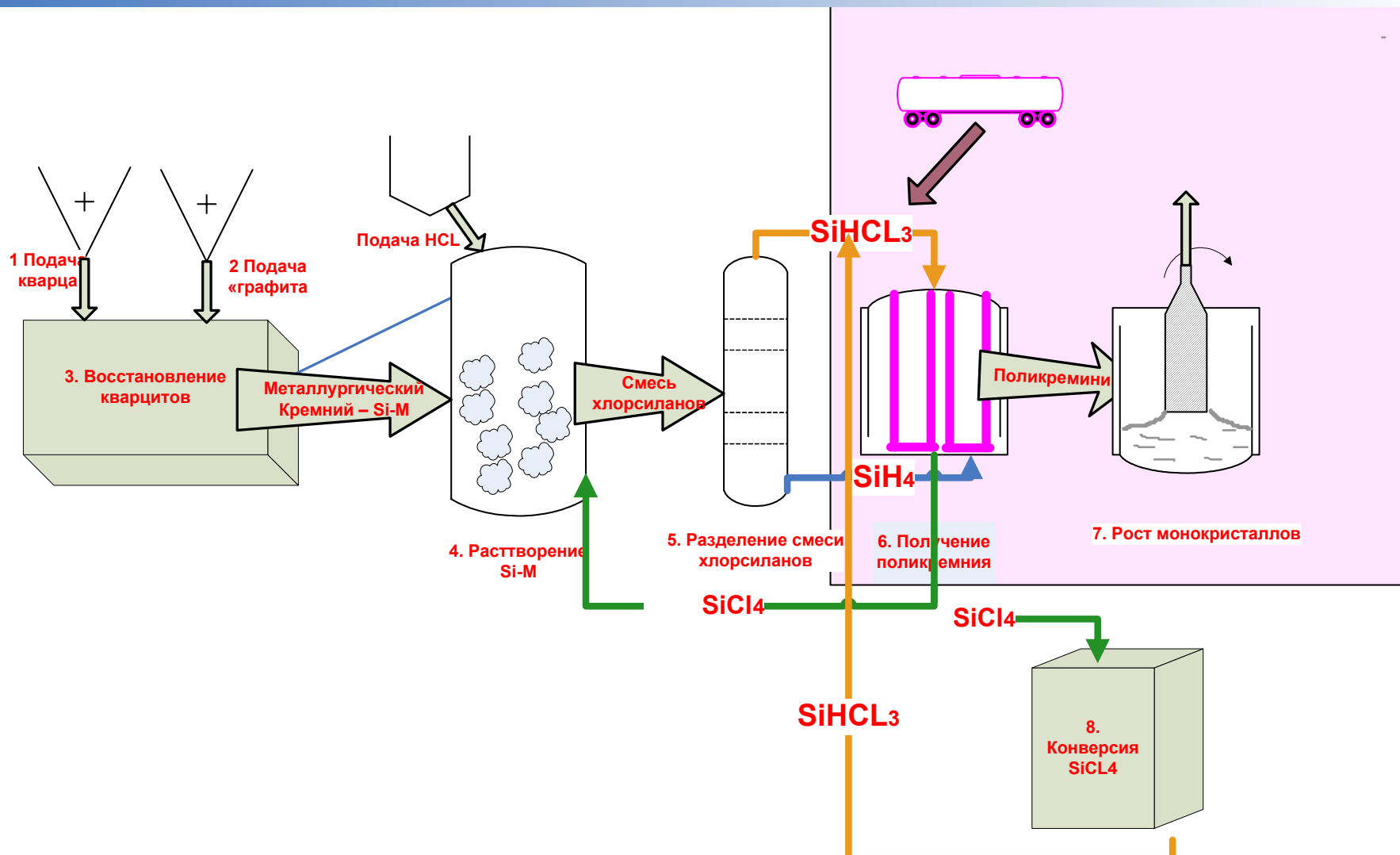
E-beam



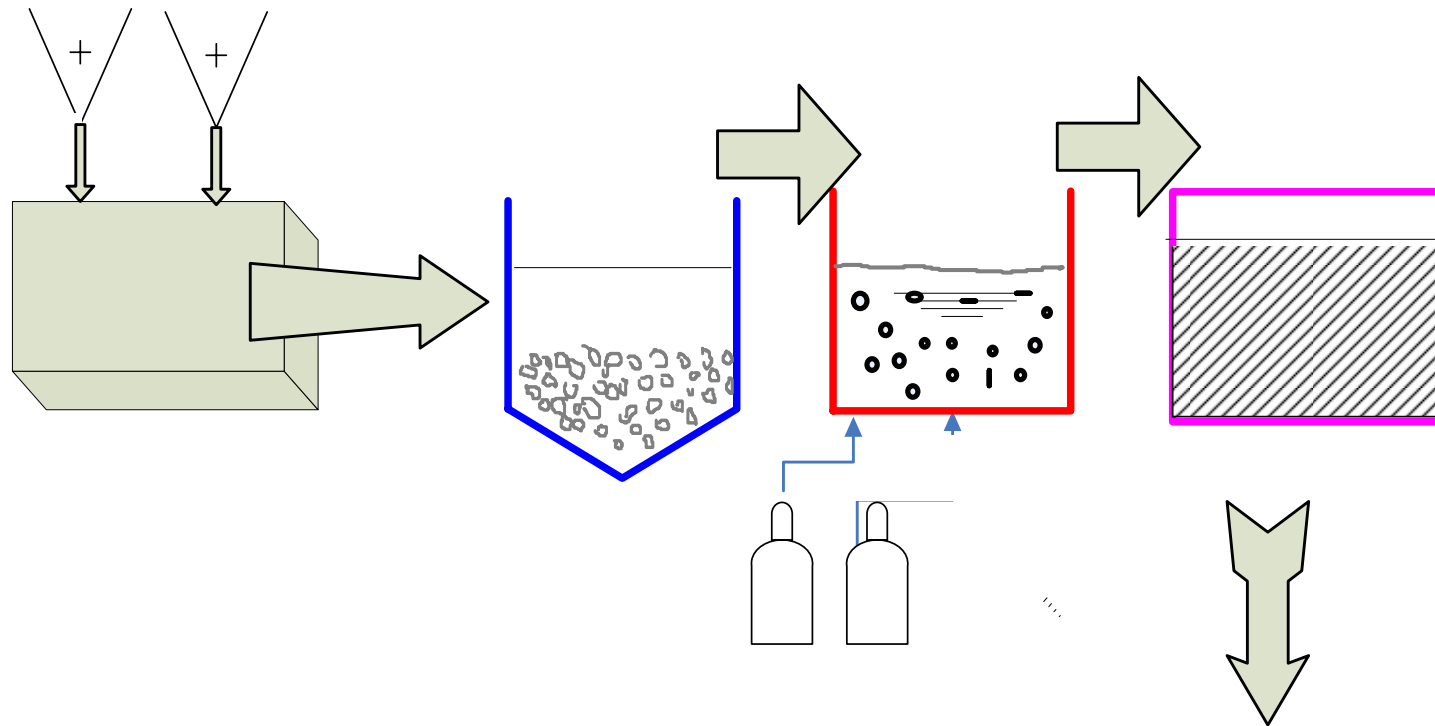
Used and potential processes for poly silicon production

20th CODATA conference Beijing
24th October 2006

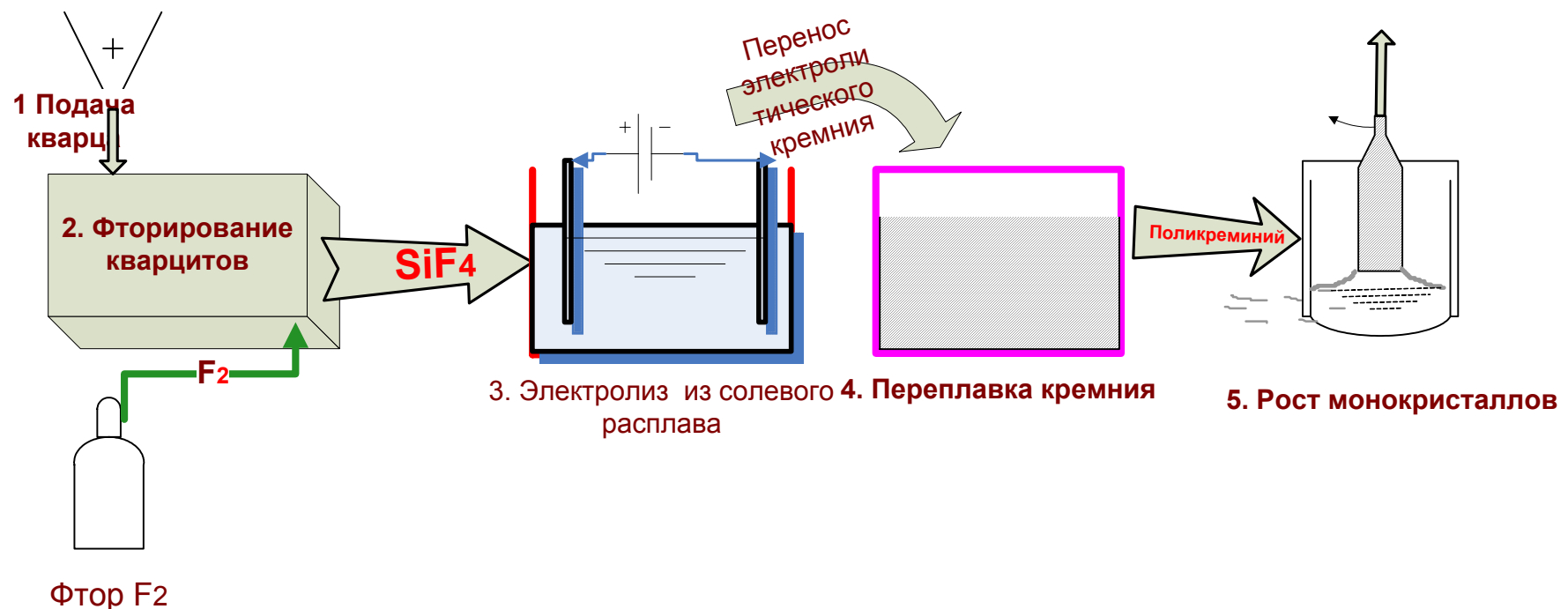
Хлоридный (Сименс) процесс



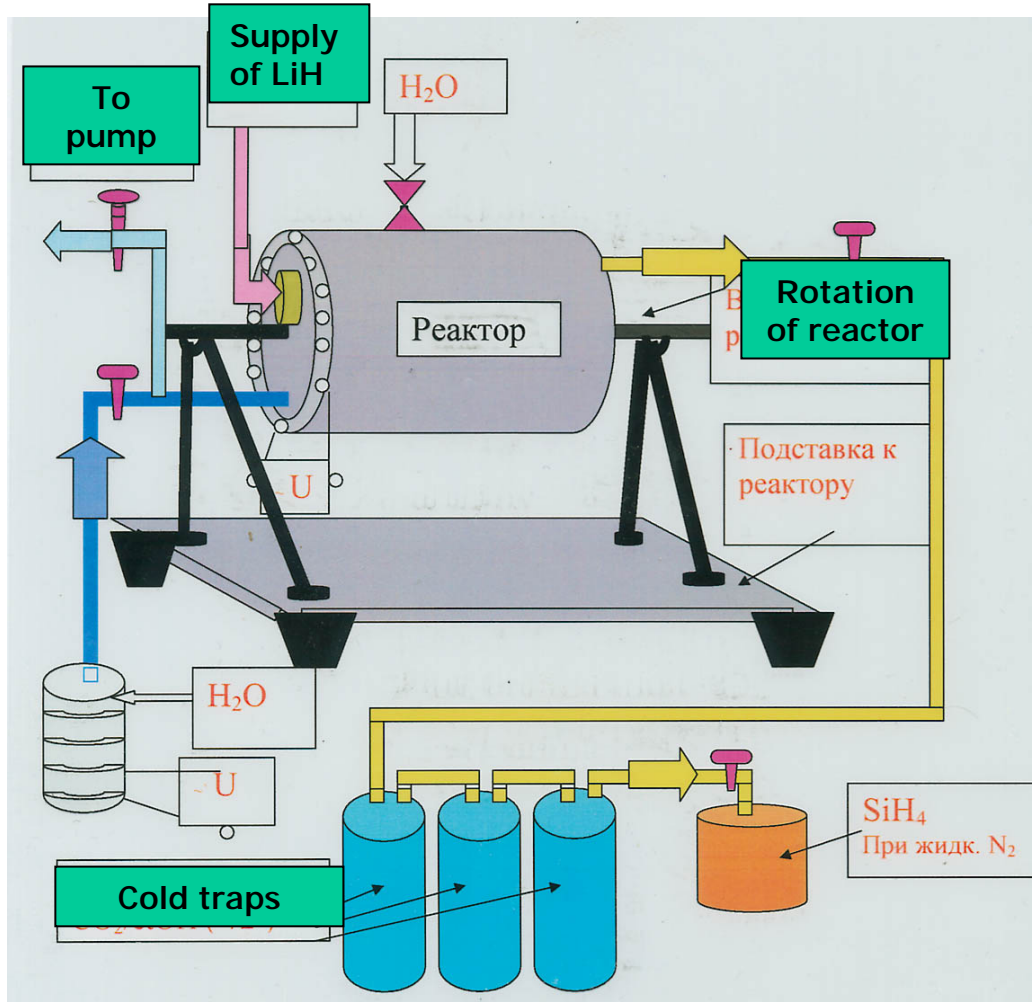
Carbothermal process



Fluoride process

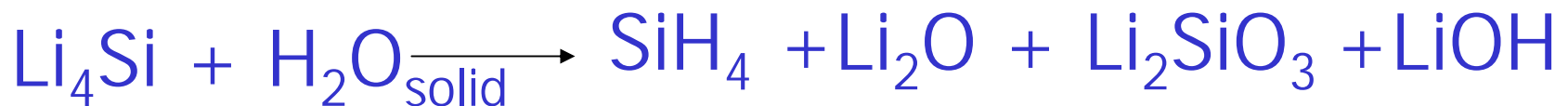
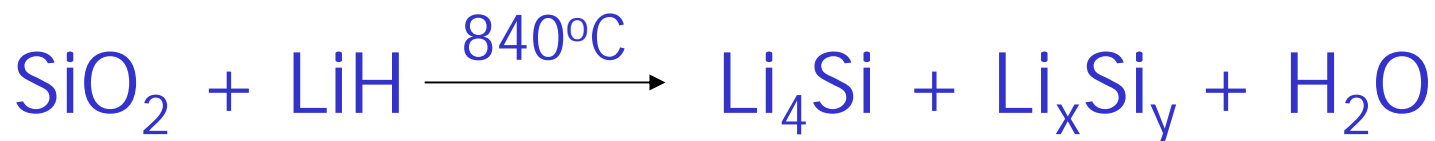


Production of monosilane with use of LiH



Scheme of a set up
for receiving of SiH₄
by interaction of
Li₄Si with water
vapor

Production of monosilane with use of LiH



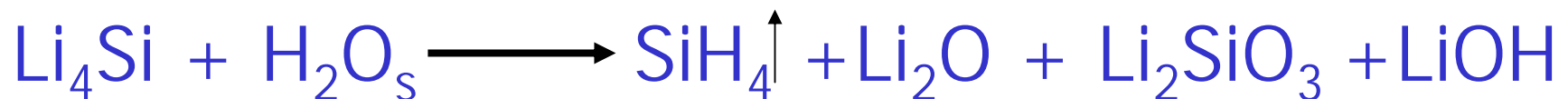
Advantages of the proposed method are:

- Outcome of monosilane can rich 80%
- Carbon impurity content can be reduced
- Overall purity of monosilane can be enhanced

Production of monosilane with use of LiH



Interaction of lithium silicides with ice



Yield of monoclines is 50 % or more

In case of interaction of Li_4Si with 10% HCl at temperature - 74.7°C monosilane yield reaches 80%

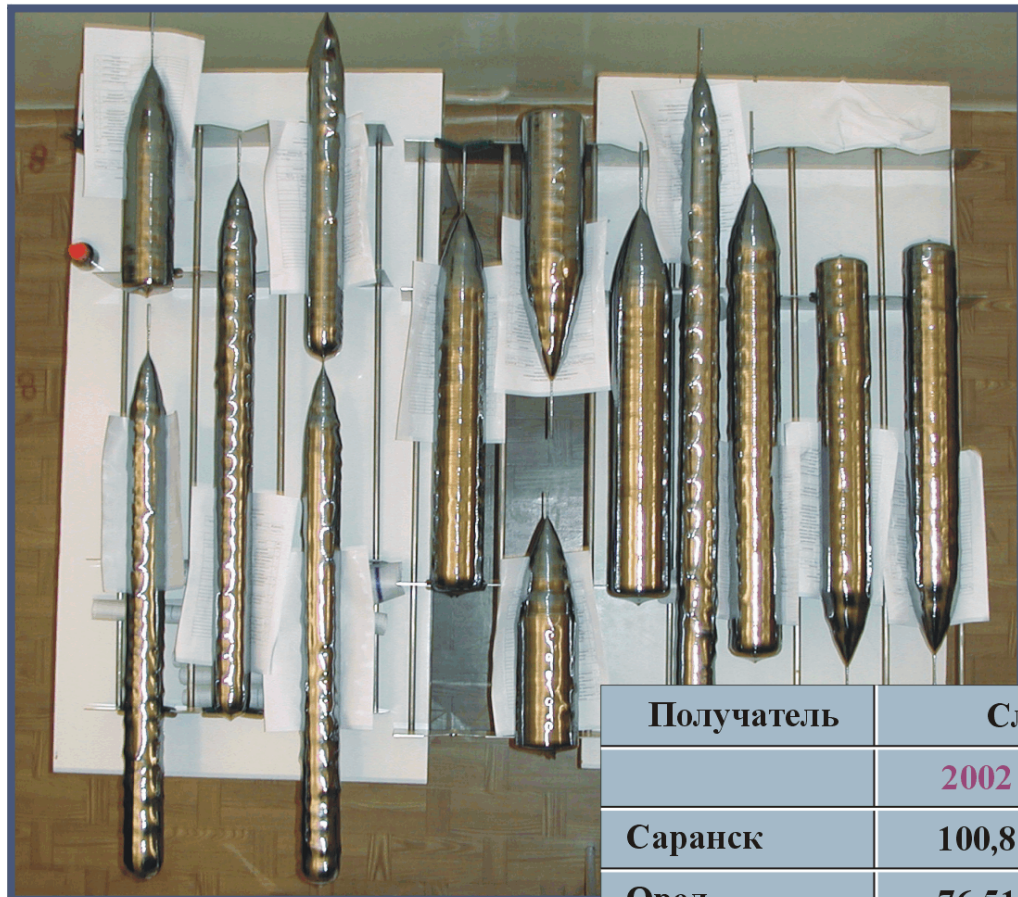
Cz Silicon of KMCC



20th CODATA conference Beijing
24th October 2006

Conclusions

1. Semiconductor silicon is and for a long time will be one of most critical materials of technical progress.
2. Demands for silicon contentiously grow, technical requirements become more severe. So, silicon technology is an example of science intensive processing
3. Modeling in silicon technology with use of reliable data is a way to meet growing demands for quantity and quality of silicon for different applications.



FZ silicon

Поставки БЗП кремния

Получатель	Слитки (кг.)		Пластины и структуры (шт.)	
	2002	2003	2002	2003
Саранск	100,8	109,9		
Орел	76,51	53,5		
Прочие	5,2	3,2	50	15
Новосибирск			180	50

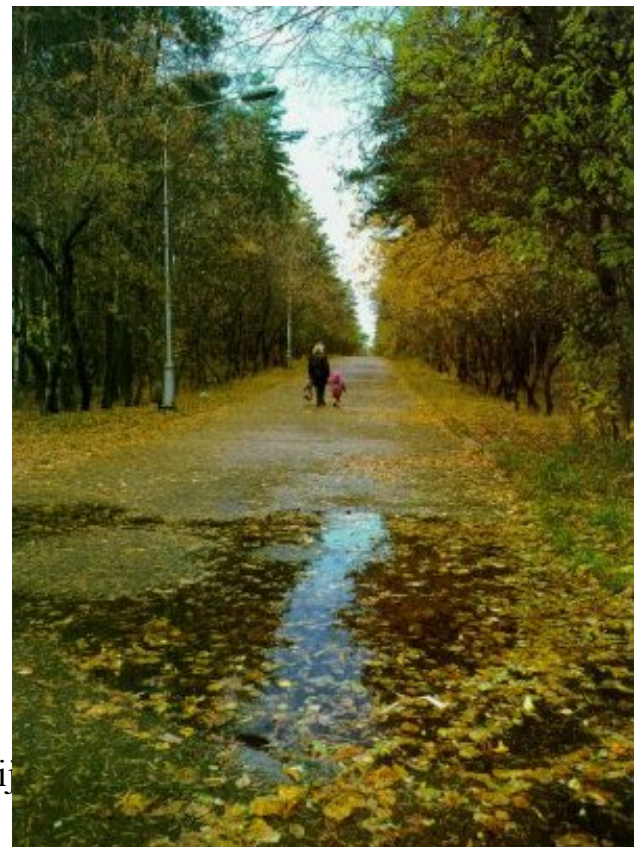
Semiconductor silicon plant Zheleznogorsk city, Siberia



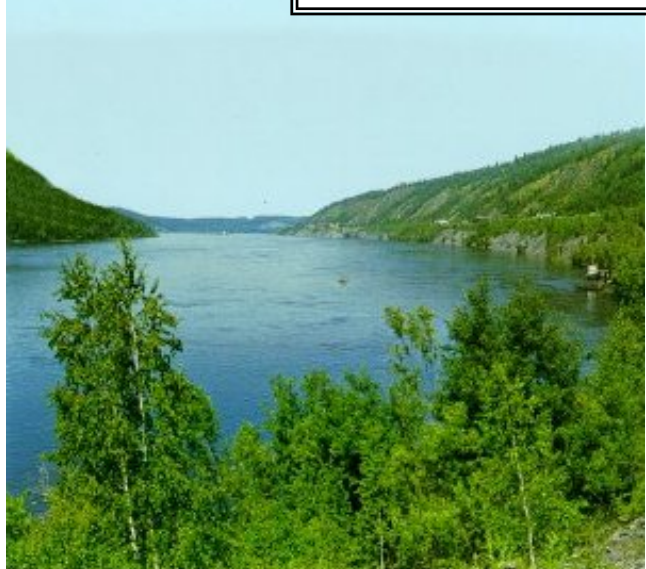
- ★ Planned production capacity of constructions 1.2-2.0 thousand tons
- ★ Project – institute GIREDMET, technology scheme and optimal regimes developed at active participation of NIICh SB RAS

Zheleznogorsk city

Was started in 1950. Received officially its name in 1994. Population 100 000, territory 17.1 sq.km



Krasnoyarsk – 26



Enisei
river

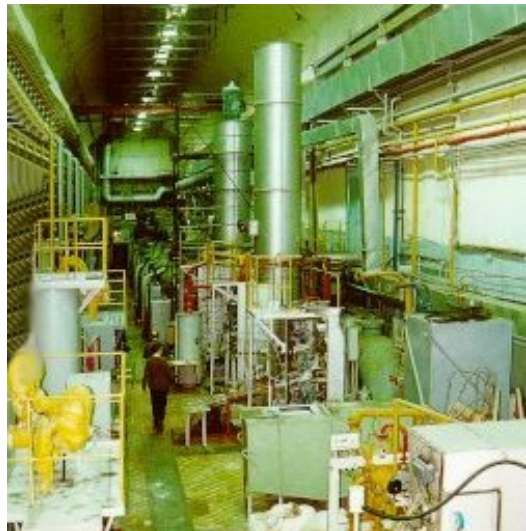
View of
tunnel



Water supply for cooling of reactors

20th COLDATA conference Beijing
24th October 2006

Workspace inside mountains





Model of RT-2



Construction site of RT-2



Spent fuel storage



Special rail road car

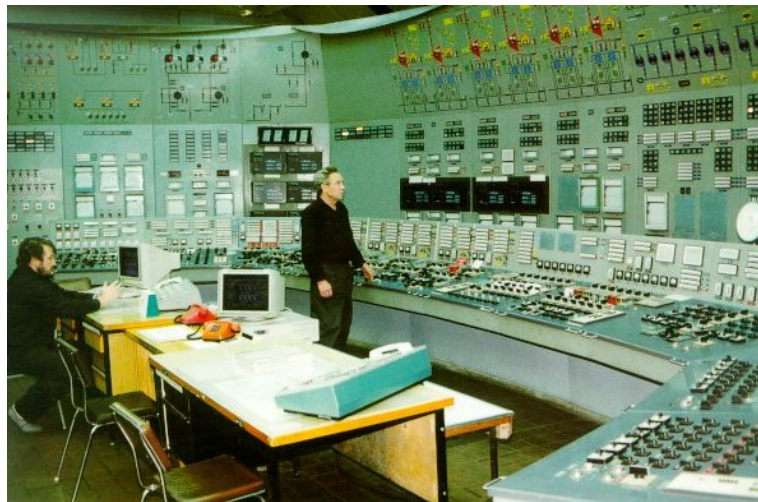
**RT-2,
Zheleznogorsk**



20th CAD assembly in water tankgarage
24th October 2006



Krasnoyarsk – 26



Reactor and turbines control halls



Turbines and generators hall



Neutrino research laboratory

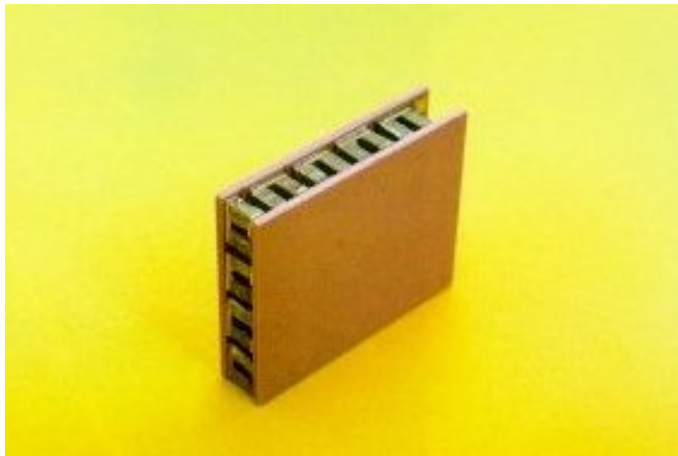
20th CODATA conference Beijing
24th October 2006

Krasnoyarsk – 26

Conversion production



Model of silicon plant



Thermoelectric module

20th CODATA conference Beijing
24th October 2006

**Semiconductor
silicon**



**High purity
tellurium**



**High purity
gallium**

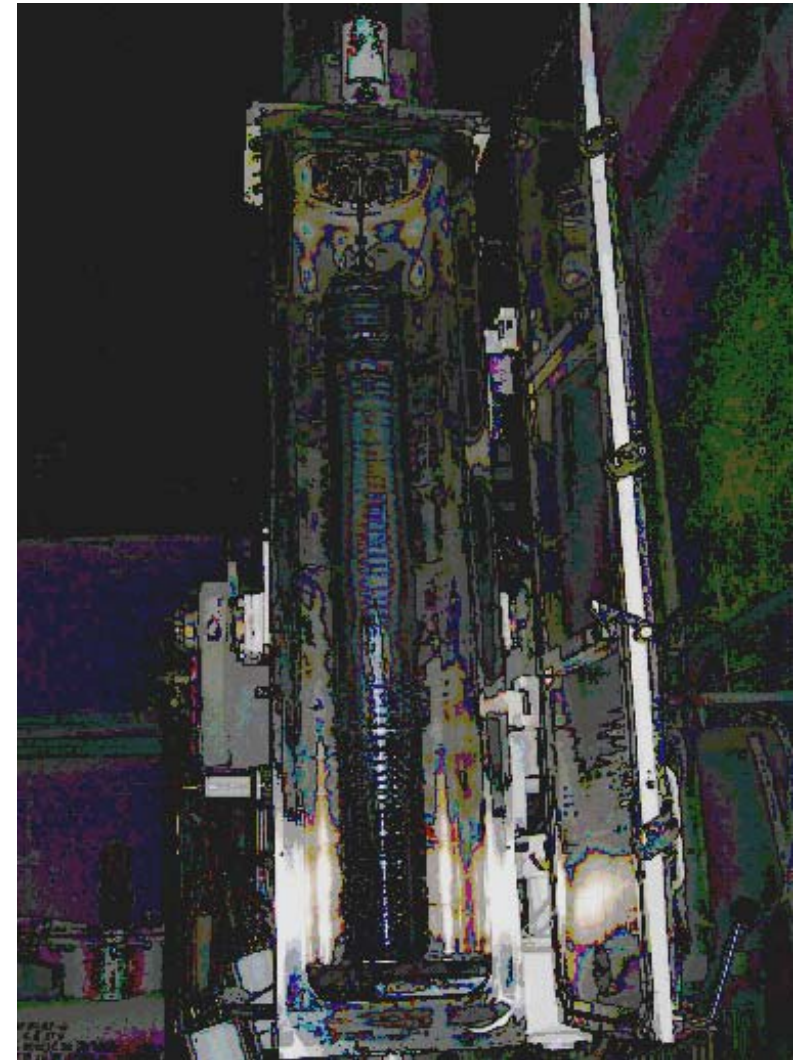


Silicon crystal puller and controls panel



**Institute of automation and electrometry SB RAS
and “Krasmash” factory**

Test run of
the silicon
crystal
puller



20th CODATA conference Beijing
24th October 2006

Seversk, Siberian Chemical Combine

Tomsk – 7



20th CODATA conference Beijing
24th October 2006

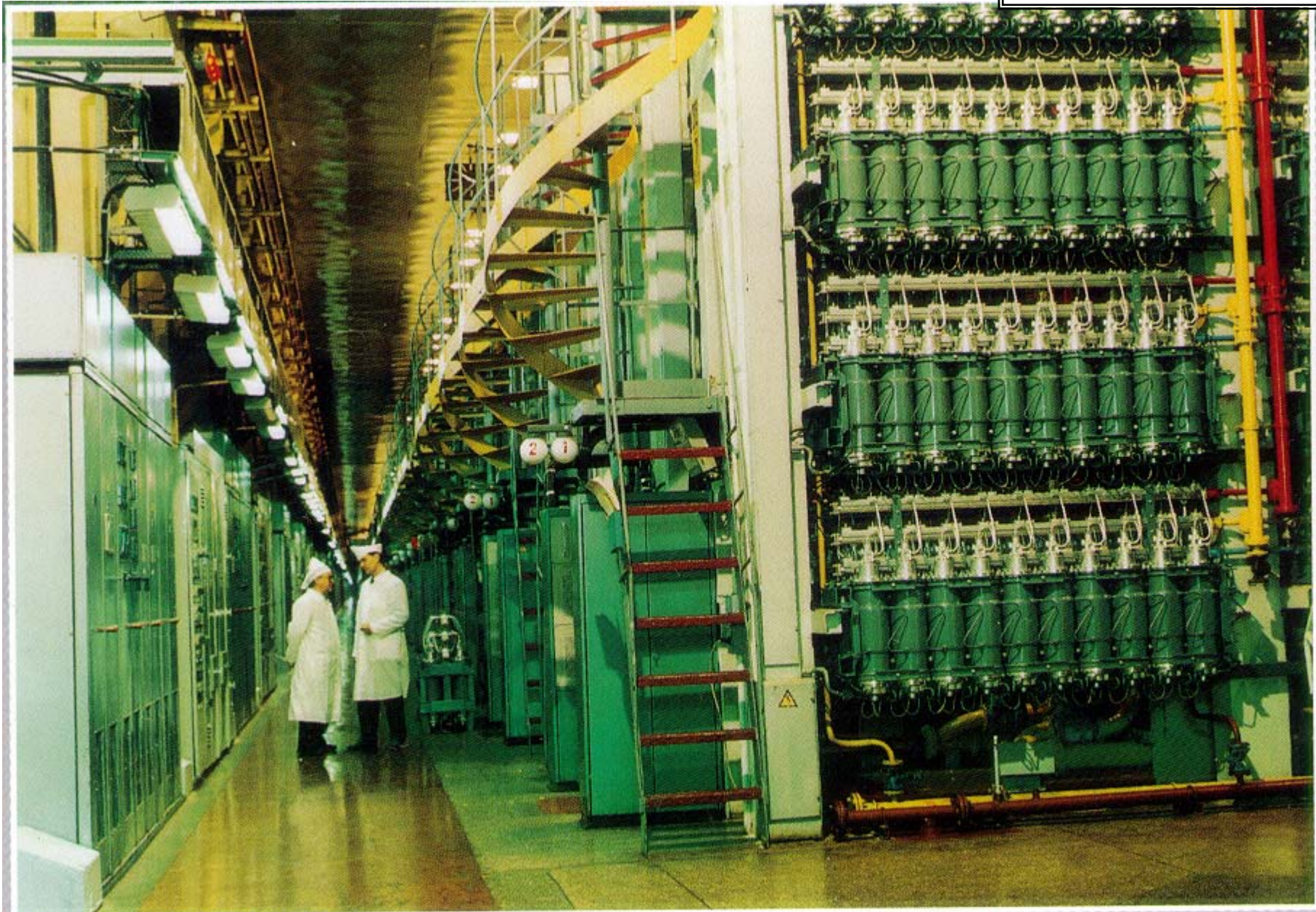
Seversk, Siberian Chemical Combine

Tomsk – 7

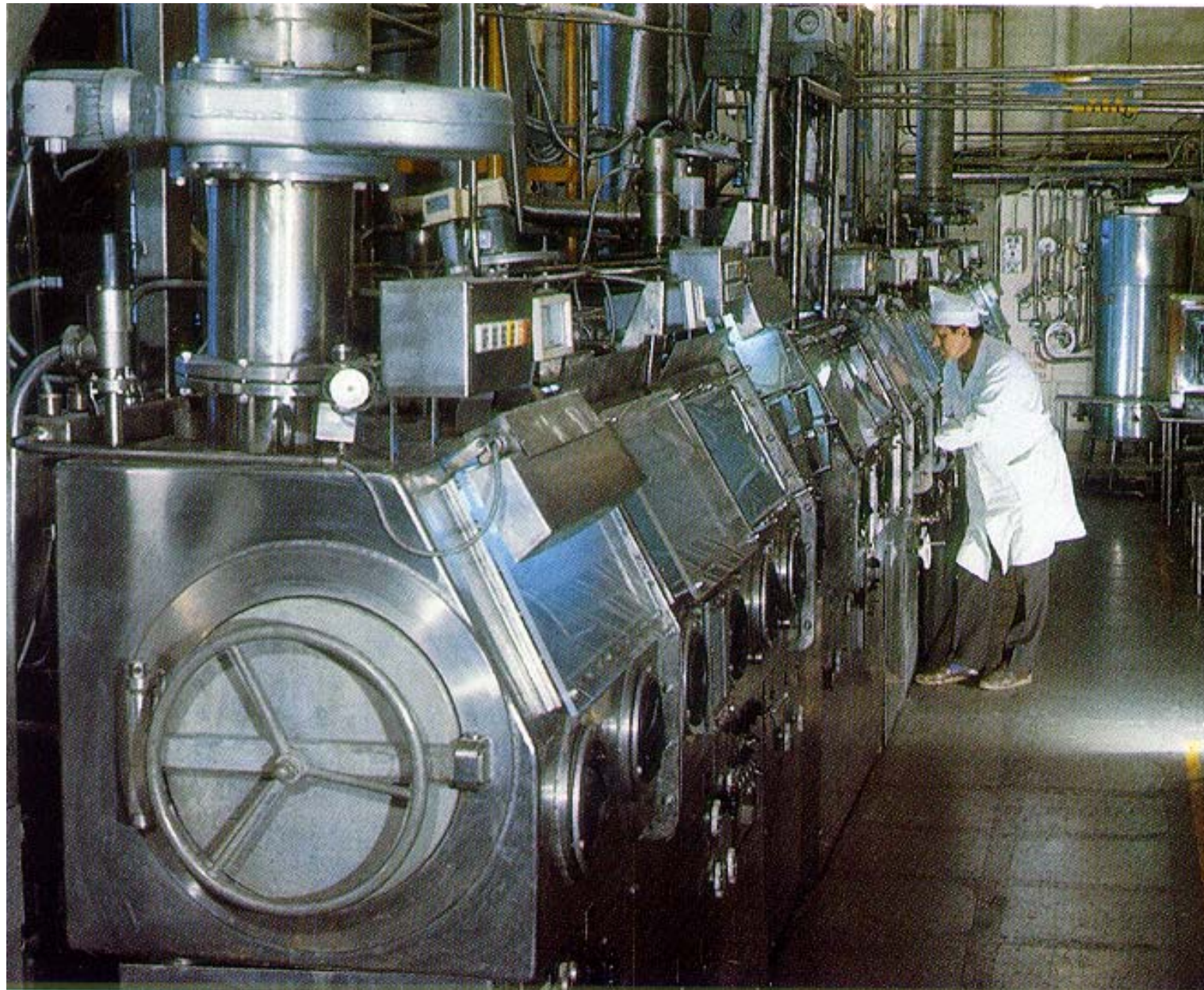


Seversk, Siberian Chemical Combine

Tomsk – 7

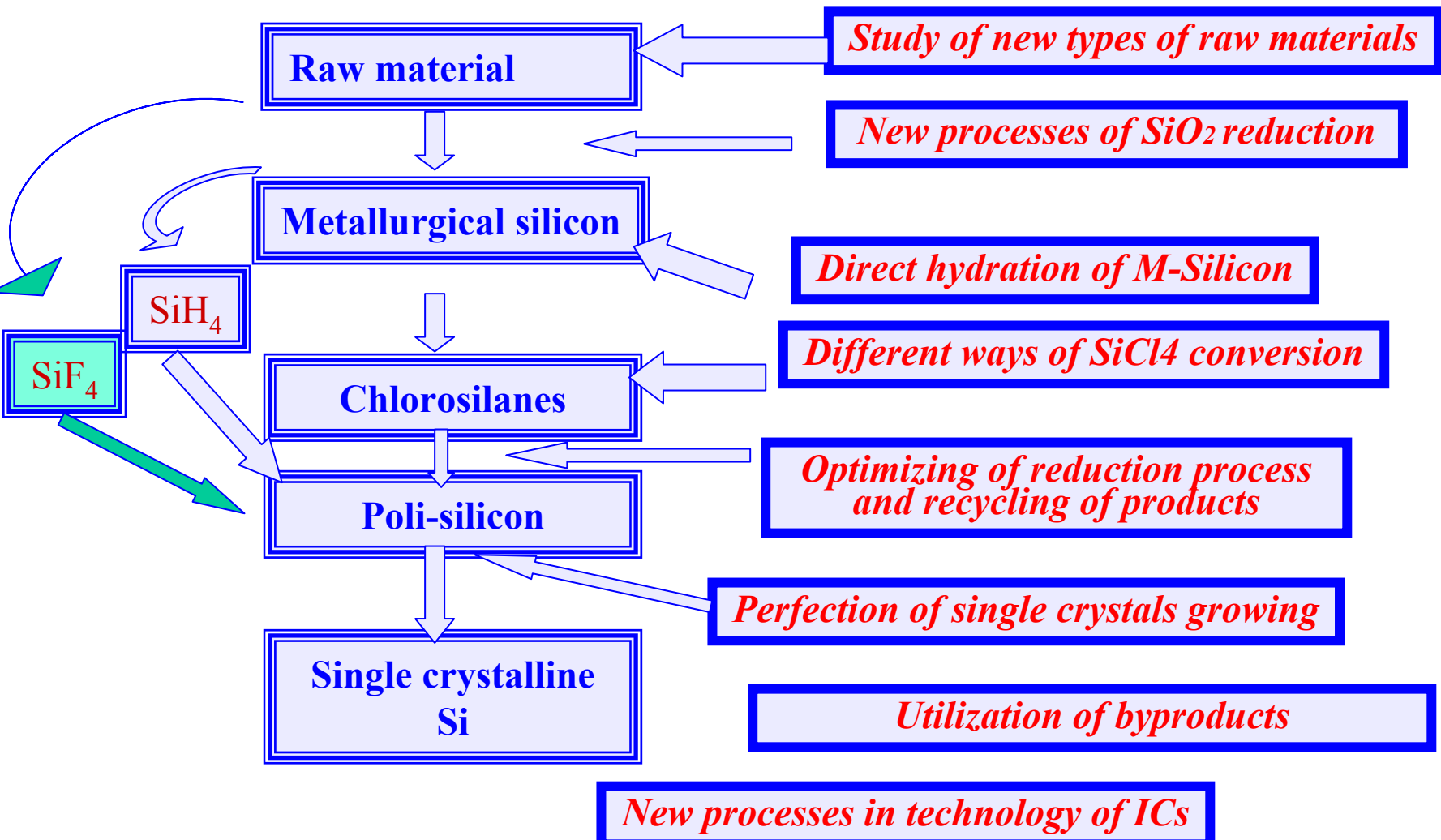


Seversk, Siberian Chemical Combine



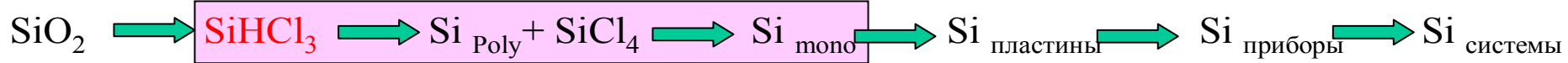
Tomsk - 7

Contribution to Silicon processing

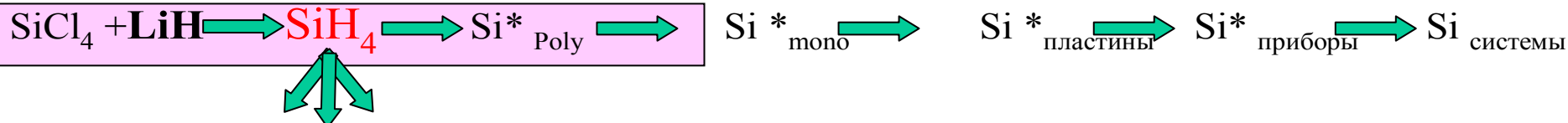


Considered schemes of Si production

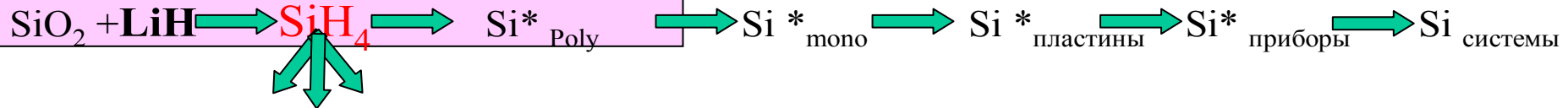
Нынешняя схема КГХК



Нынешняя схема НЗХК

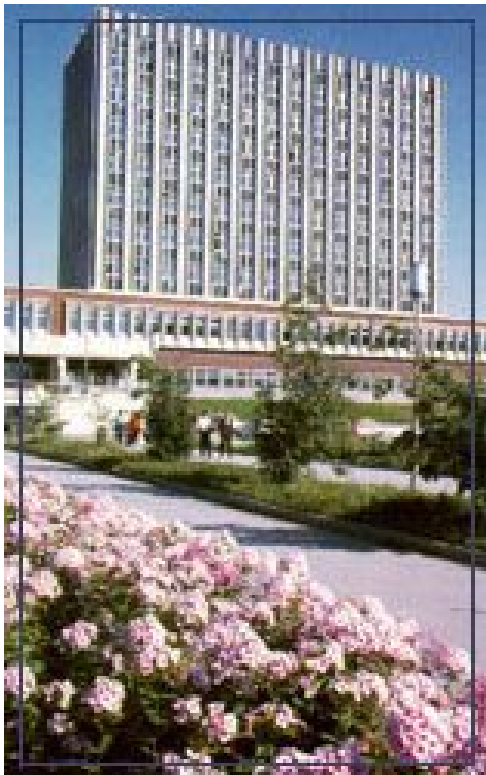


Альтернативная схема НЗХК





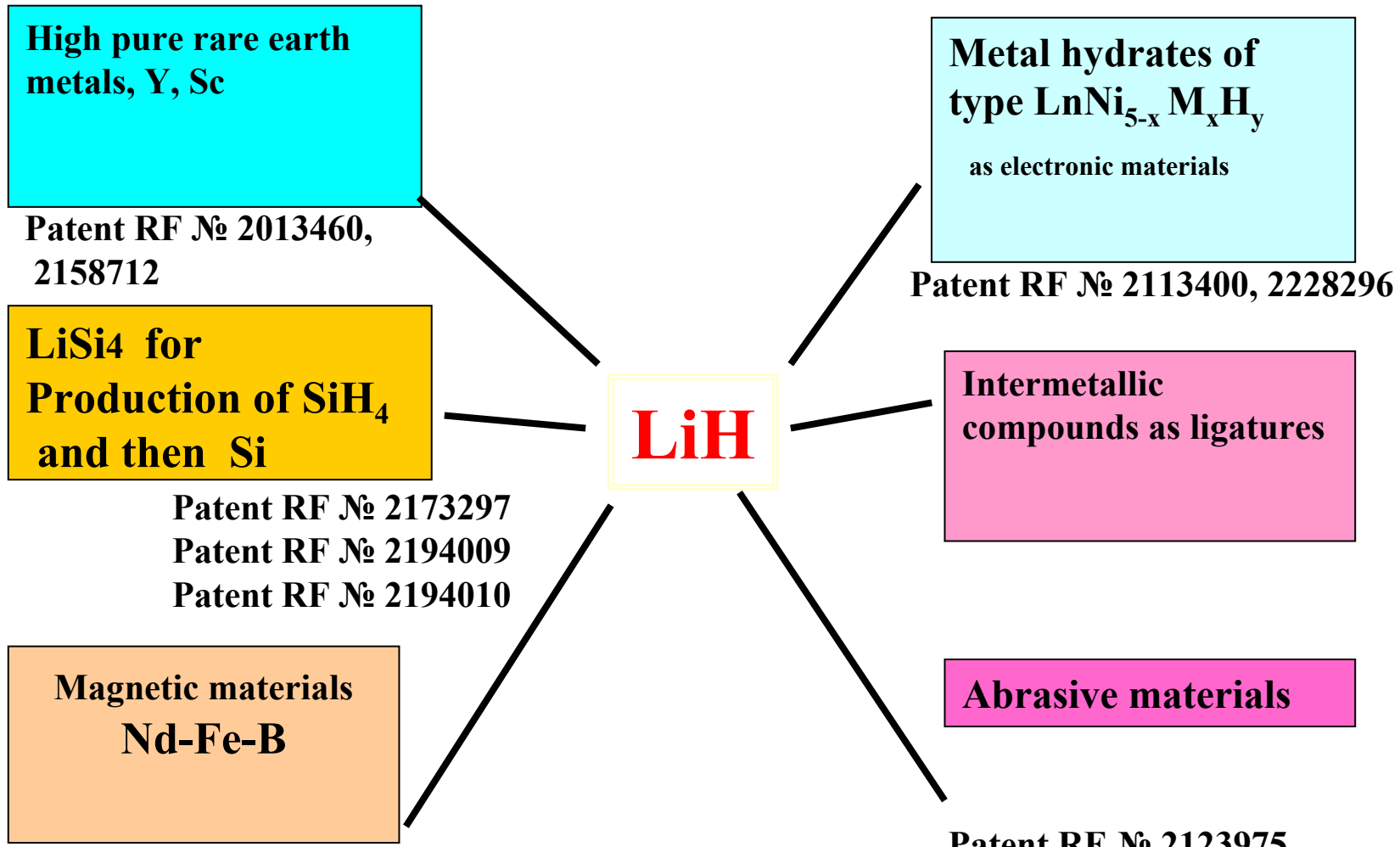
ИБИРСКИЙ ЗАВОД ХИМКОНЦЕНТРАТОВ



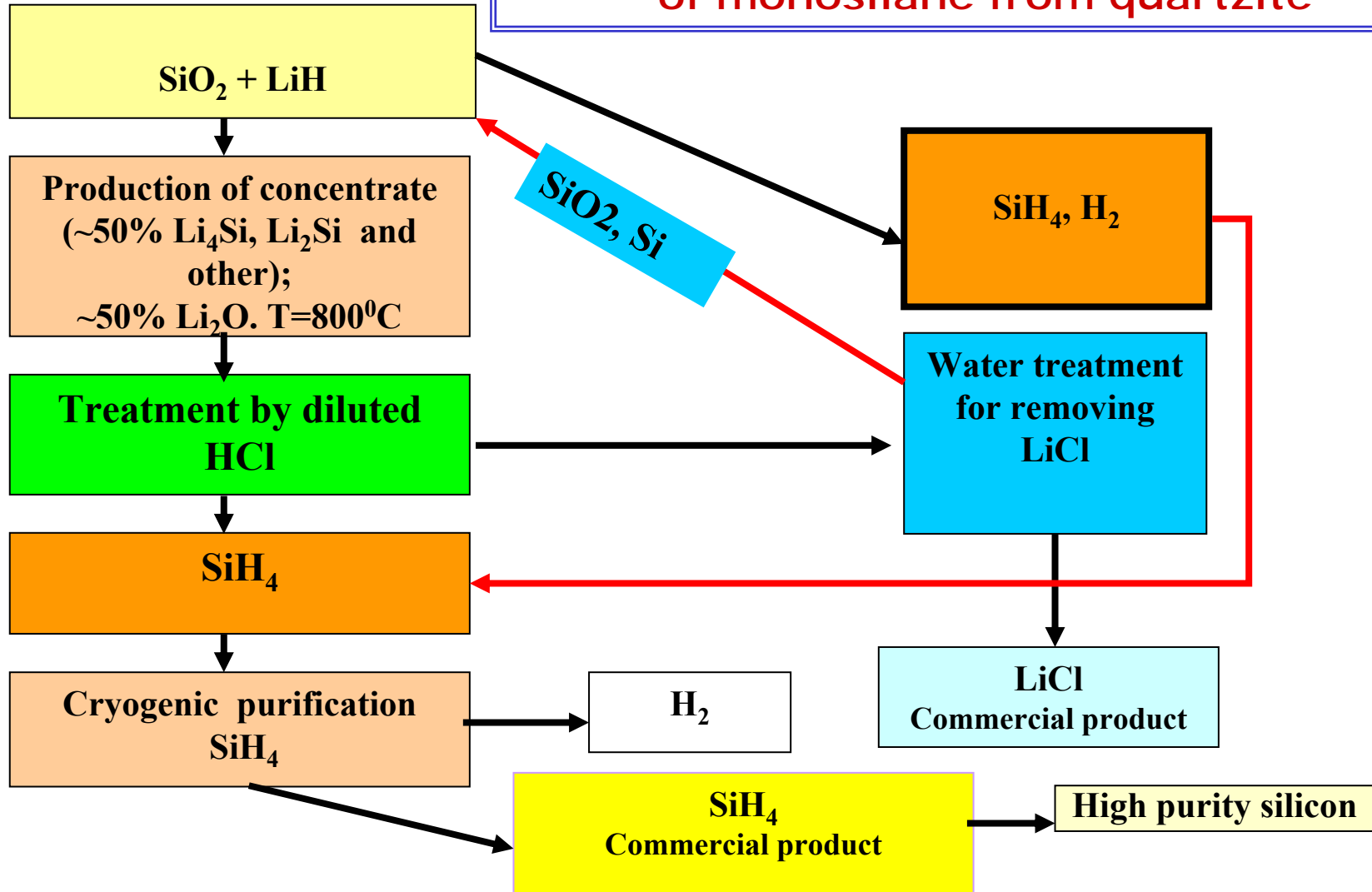
**Novosibirsk chemical
concentrates factory**

Joint-stock company the Novosibirsk chemical concentrates factory - one of the largest enterprises of Russia, producing **nuclear fuel for the atomic power stations** and research reactors, **lithium and its compounds**. The basic directions of activity of the enterprise are: Uranium manufacture; BBЭР-1000; BBЭР-440; Li manufacture; Manufacture of products of physical chemistry.

Use of LiH in materials synthesis



Scheme of LiH technology for production of monosilane from quartzite



Почему мультикремний?



- Значительно более низкая стоимость получения слитка мультикремния по сравнению с монокристаллом
- Небольшая разница в эффективности солнечных элементов на основе мультикремия и монокристалла - 14,5% МКК и 16% МК (комерч)
22,7% МКК и 24% МК (лабор)
- Гораздо меньшие отходы при изготавлении пластин

Физико-химические основы технологии получения мультикремния





Эксперимент

- Февраль 1999: *получение высокочистого кремния на одной из 25 MVA печей ЗАО «Кремний»*



Silicon of KMCC



20th CODATA conference Beijing
24th October 2006

Silicon of Institute of Physics SB RAS

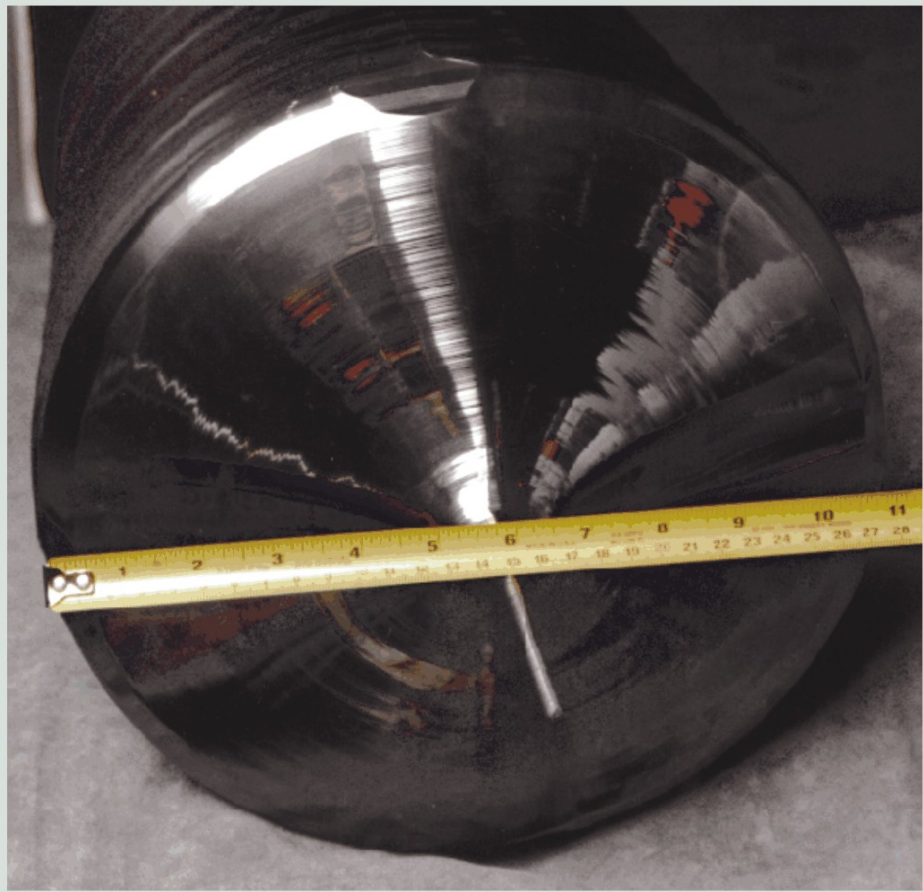
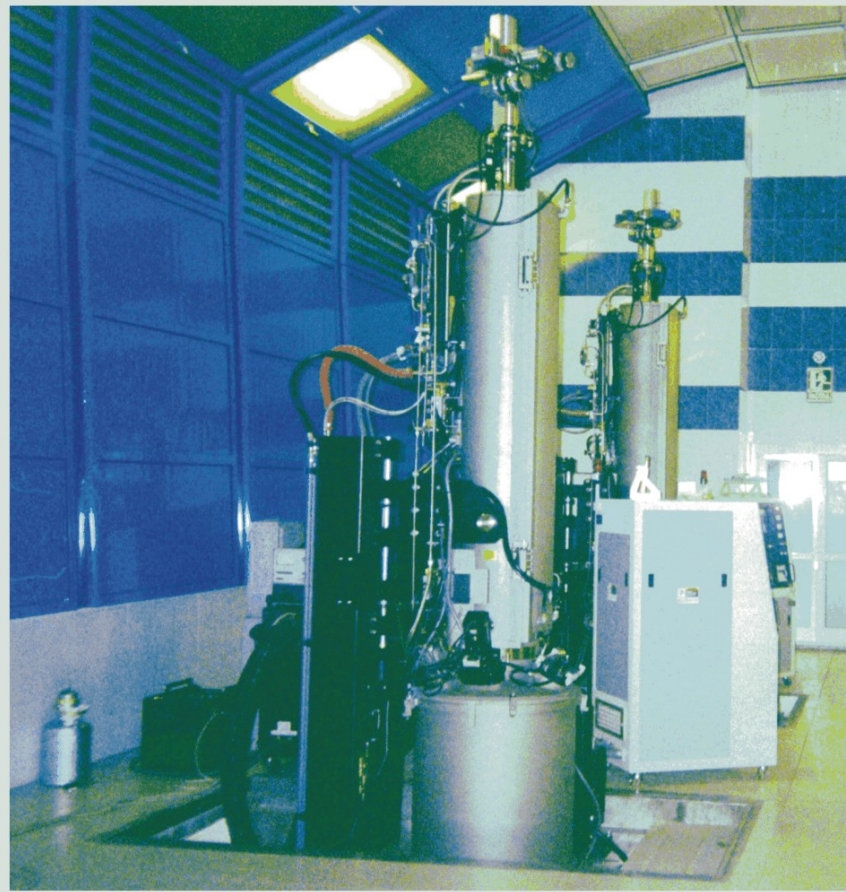


ence
2006



СИБИРСКОЕ ОТДЕЛЕНИЕ РАН

Министерство по атомной энергии РФ

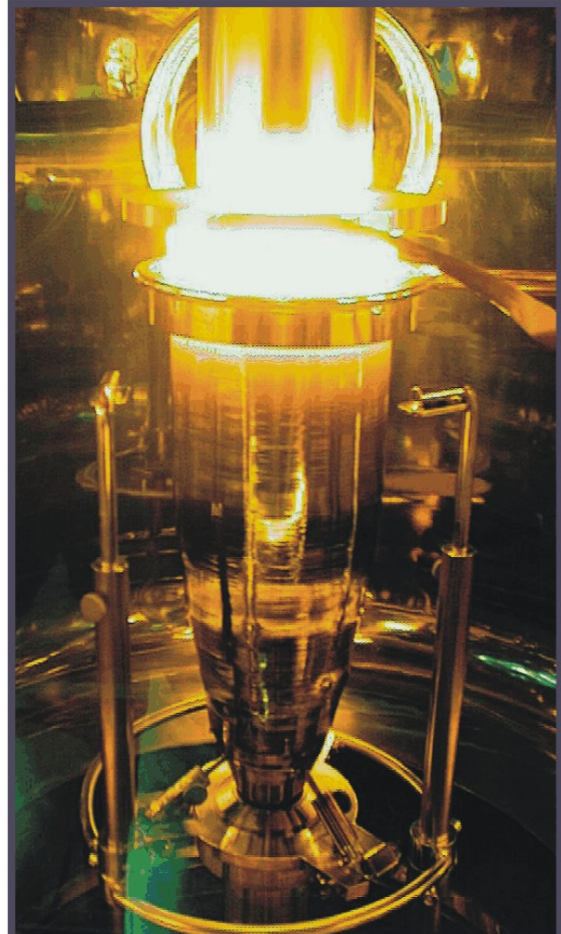


**Марки кремния, выращиваемые методом Чохральского на Красноярском горно-химическом комбинате
(общий объем продаж более 300 кг/мес.)**

Тип материала	КДБ-0,01; КДБ-12; КЭФ - 4,5; "Солнечный кремний"
Удельное электросопротивление, Ом [*] см	0,01 - 0,02; 12; 4,5; 5 - 20
Время жизни н.н.з., мкс	48, 40, > 20
Диаметр, мм	150 - 200, 150, 150, 125 -150



РОСТ МОНОКРИСТАЛЛОВ КРЕМНИЯ МЕТОДОМ БЕСТИГЕЛЬНОЙ ЗОННОЙ ПЛАВКИ

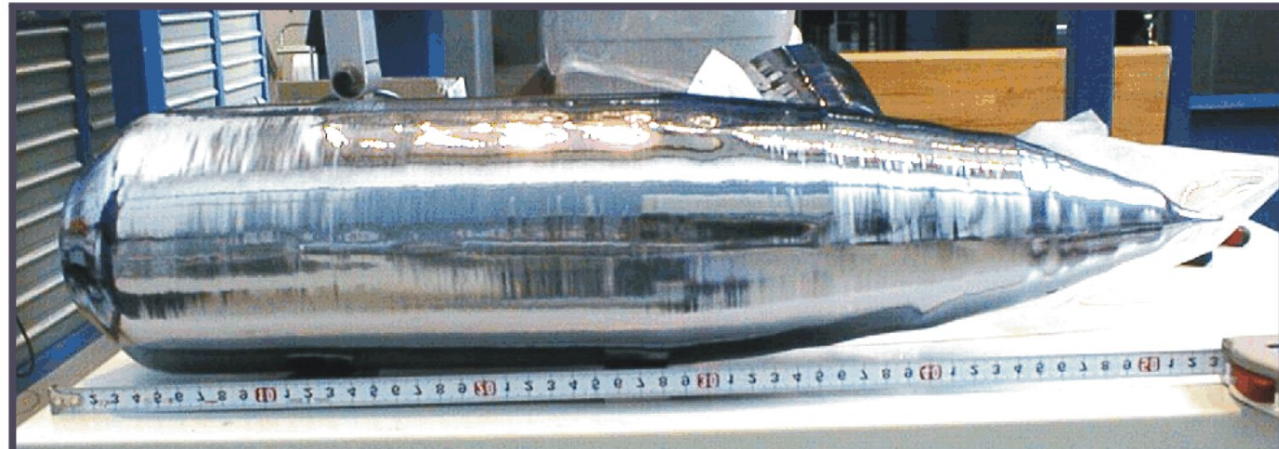


Индукционный переплав поликремния
и рост кристалла диаметром 100 мм

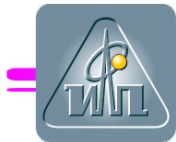
Марки кремния, выращиваемые методом бестигельной зонной плавки в ИФП СО РАН (общий объем продаж - 250 кг/год)	
Диаметр слитков, мм	40 - 125
УЭС после выращивания, Ом [*] см	1000 - 100 000
УЭС после нейтронного легирования, Ом [*] см	25 - 320
Время жизни н.н.з., мкс	50 - 4 000

Основные потребители

ОАО "Искра" (Ульяновск); ОАО "Электровыпрямитель" (г. Саранск);
ЗАО "Протон-электротекс" (г. Орел); ОАО "Ангстрем" (г. Зеленоград);
ПО "Интеграл" (Белоруссия); ОАО "Силовая электроника Сибири" (Новосибирск).



Кристалл диаметром 125 мм, выращенный на установке FZ-20



ВЫРАЩИВАНИЕ МОНОКРИСТАЛЛИЧЕСКОГО КРЕМНИЯ МЕТОДОМ БЕСТИГЕЛЬНОЙ ЗОННОЙ ПЛАВКИ



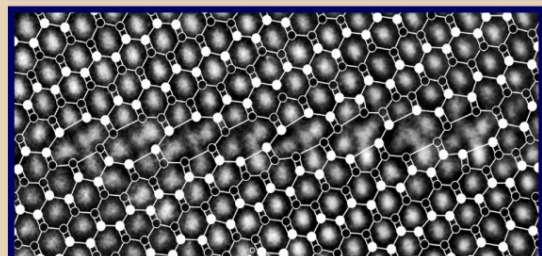
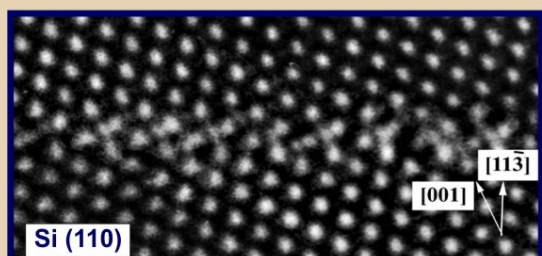
Распределение дефектов
по поперечному срезу слитка



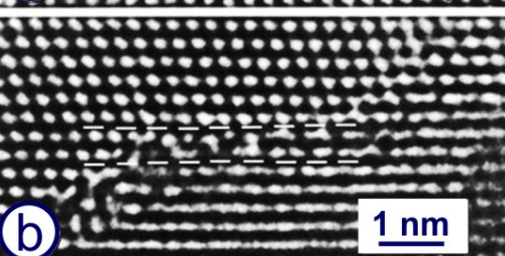
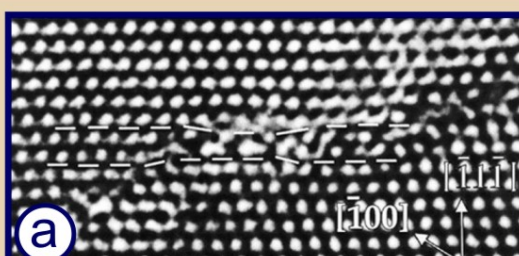


Реакции точечных дефектов в высокосовершенных кристаллах Б3П-кремния

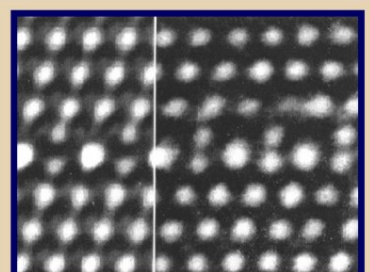
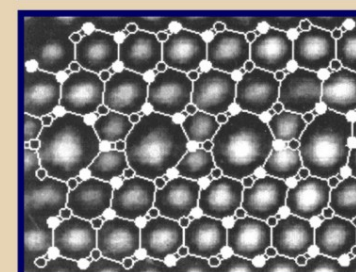
Метастабильные конфигурации междуузельных атомов в ядре дислокации Франка в кристалле кремния



Скопление вакансий по плоскости (113) в кристалле Б3П-кремния



Последовательные стадии формирования вакансионно-междуузельного кластера в кремнии



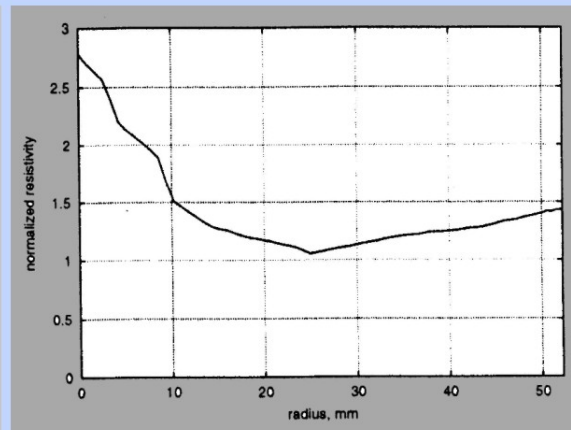
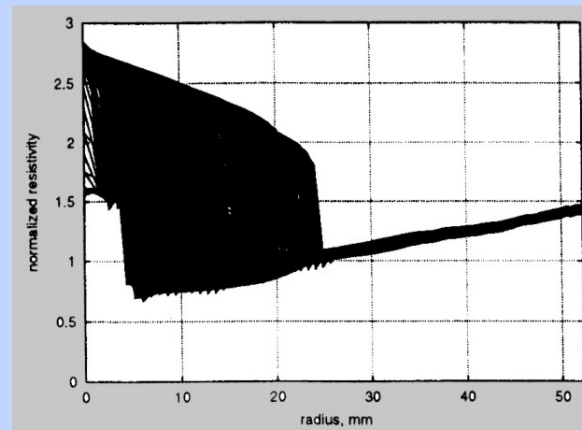
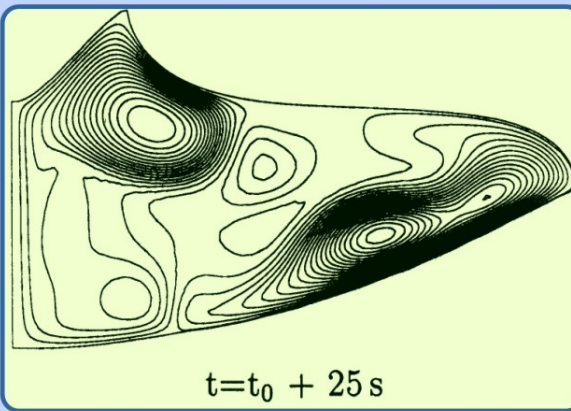
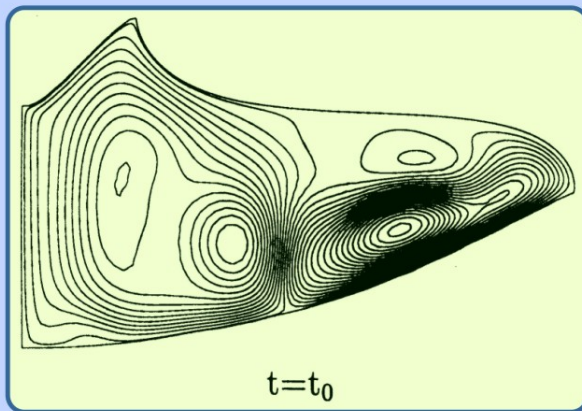
На основе *in situ* экспериментов по облучению полупроводниковых кристаллов электронами в ВРЭМ исследованы реакции взаимодействия точечных дефектов между собой, с атомами примесей, поверхностью и дислокациями. Установлено, что особенности этих реакций определяются метастабильными конфигурациями точечных дефектов в алмазоподобной кристаллической решетке

Л.И. Федина, А.Л. Асеев

В кн: Нанотехнологии в полупроводниковой электронике,
изд. СО РАН, Новосибирск, 2004, § 3.2, с. 279-201

ИНСТИТУТ ФИЗИКИ ПОЛУПРОВОДНИКОВ СО РАН
 INSTITUTE FOR ELECTROHEAT, UNIVERSITY OF HANOVER

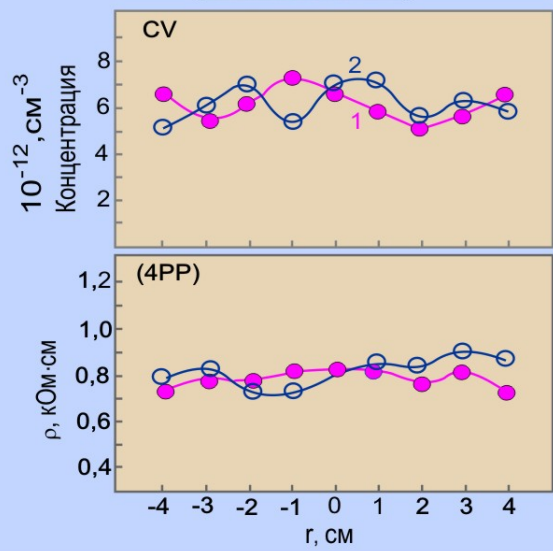
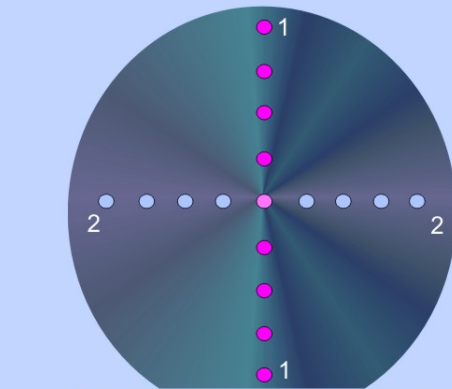
Расчетные данные для потоков в расплаве и электросопротивление слитков
 вдоль фронта кристаллизации при бестигельной зонной плавке кремния



Осцилляции электросопротивления

Среднее значение электросопротивления

Радиальное распределение концентрации легирующей примеси и электросопротивления в пластинках БЭП-кремния

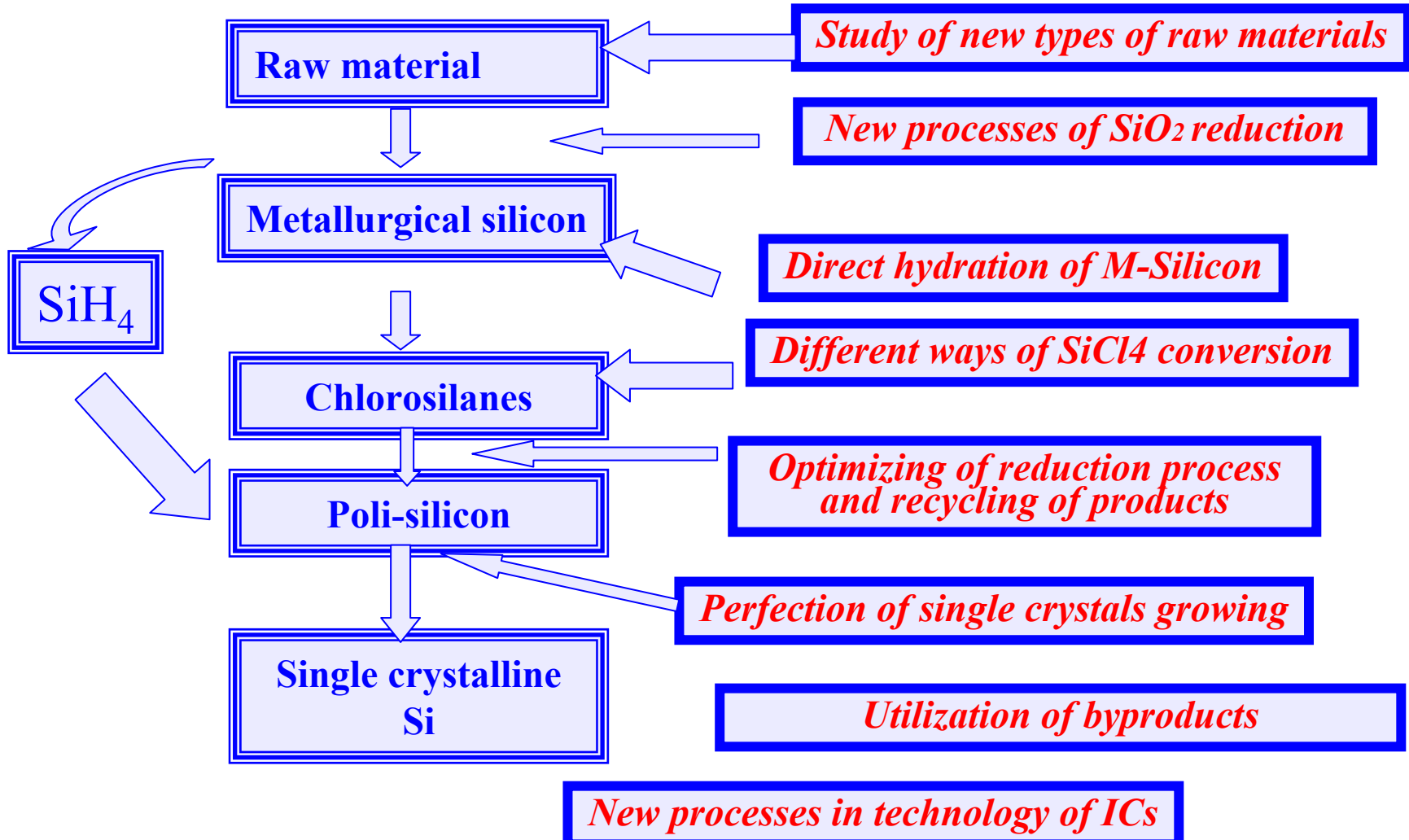


20th CODATA conference Beijing
24th October 2006

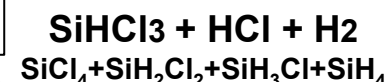
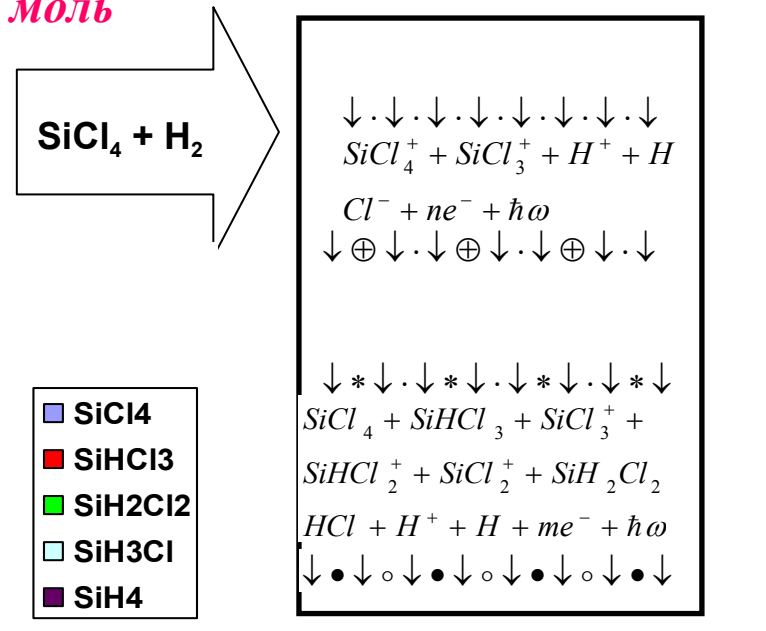
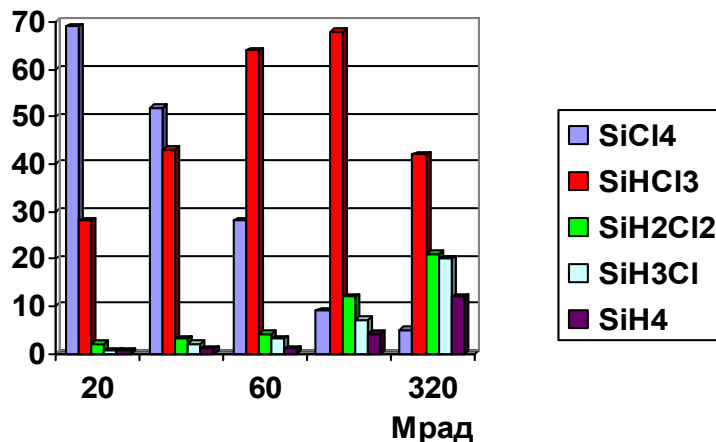
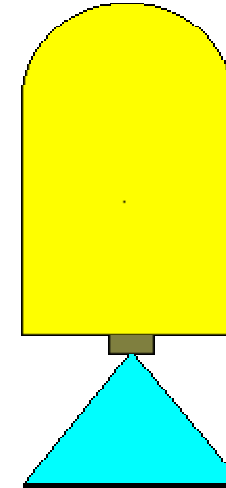
20th CODATA conference Beijing
24th October 2006

Some joint material science and technology projects with FAAE enterprises

Contribution to Silicon processing

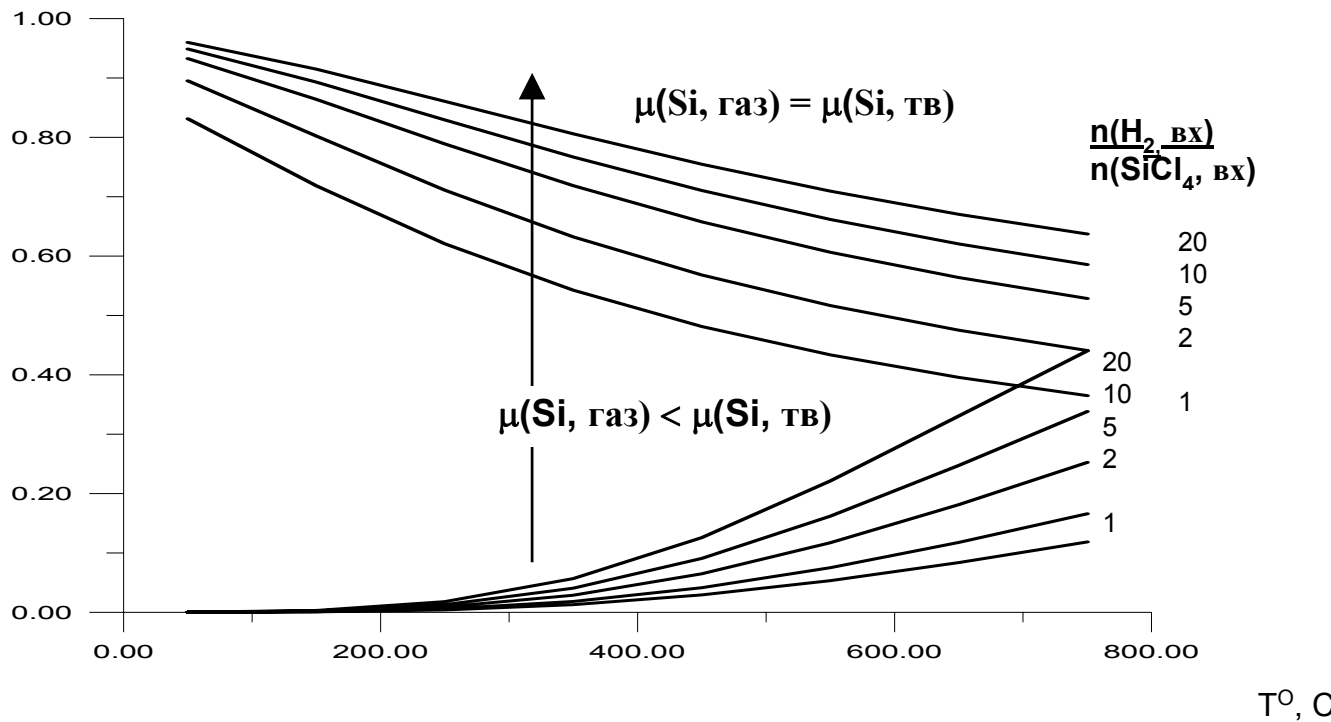


E-beam initiated SiCl_4 to SiHCl_3 conversion



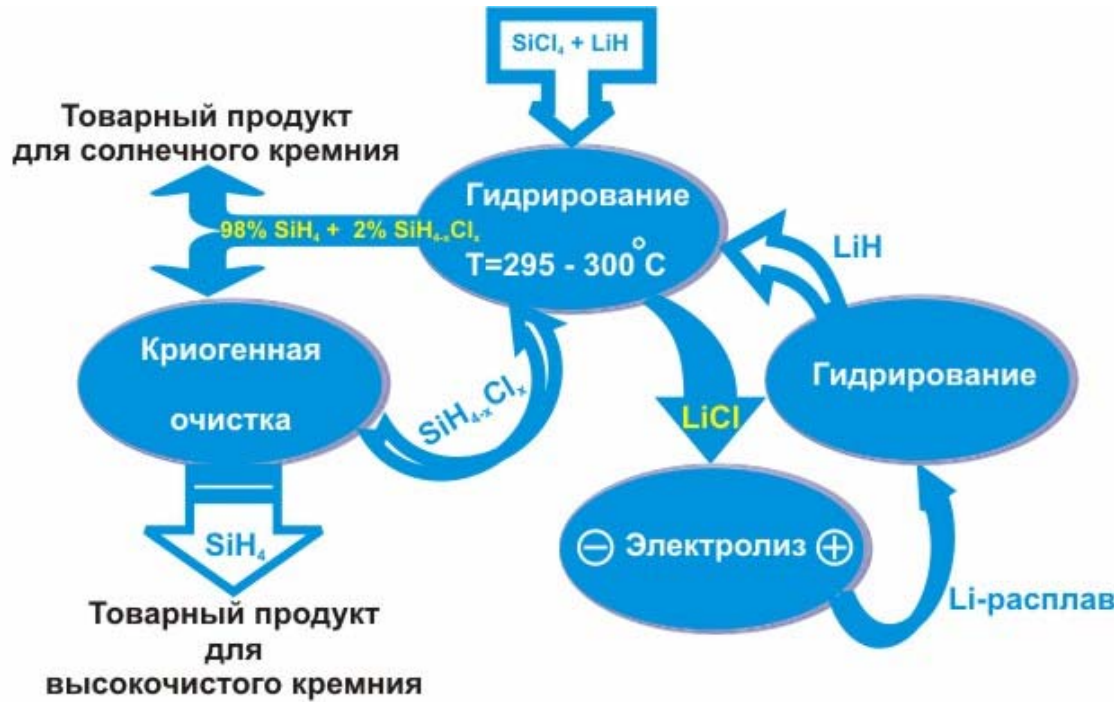
Optimization of Si technology E-beam conversion of tetrachloride

$n(\text{SiHCl}_3, \text{ вых})/n(\text{SiCl}_4, \text{ вх})$



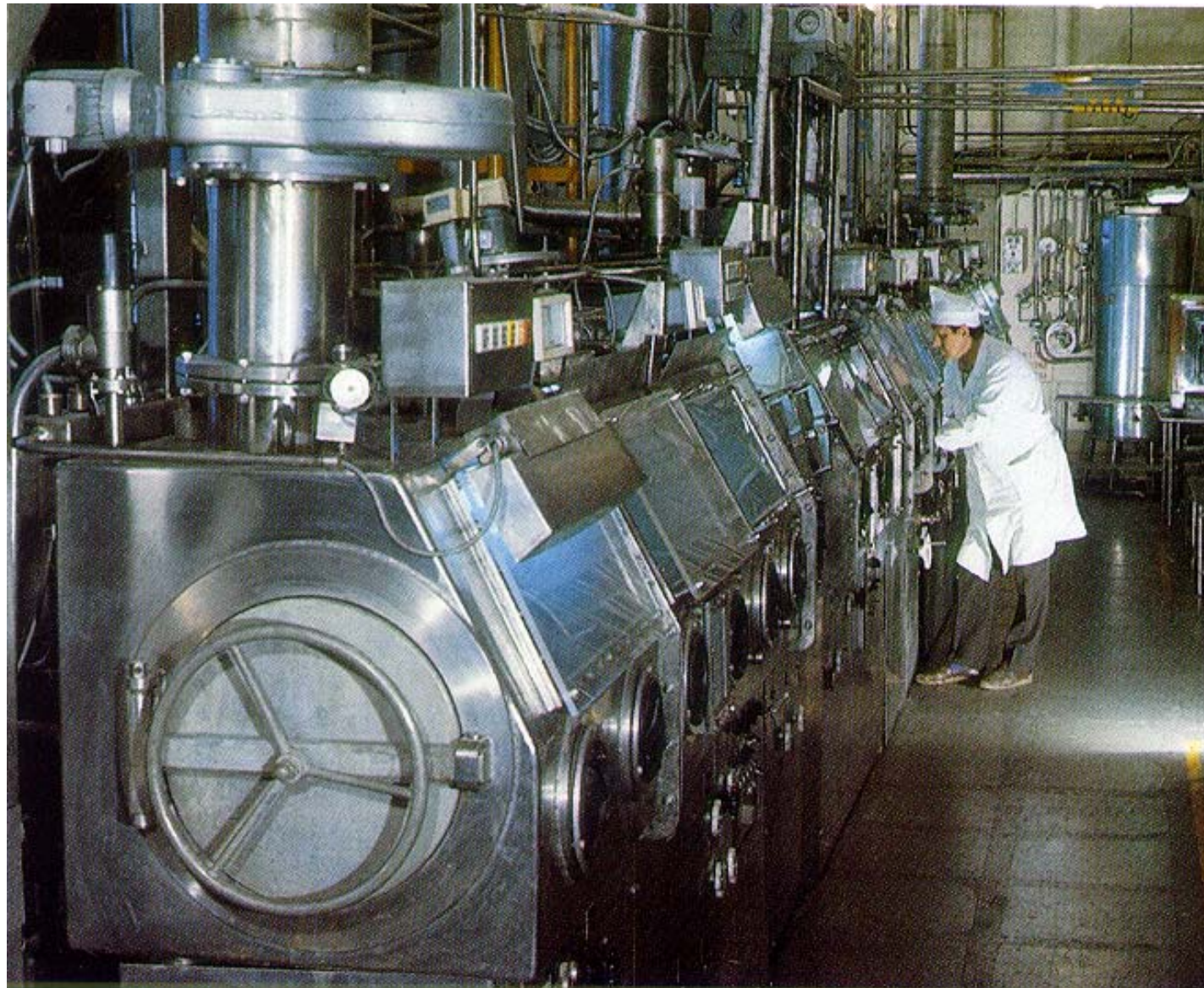
Рост выхода SiHCl_3 при принудительном увеличении $\mu(\text{Si, газ})$

Li-Si technology

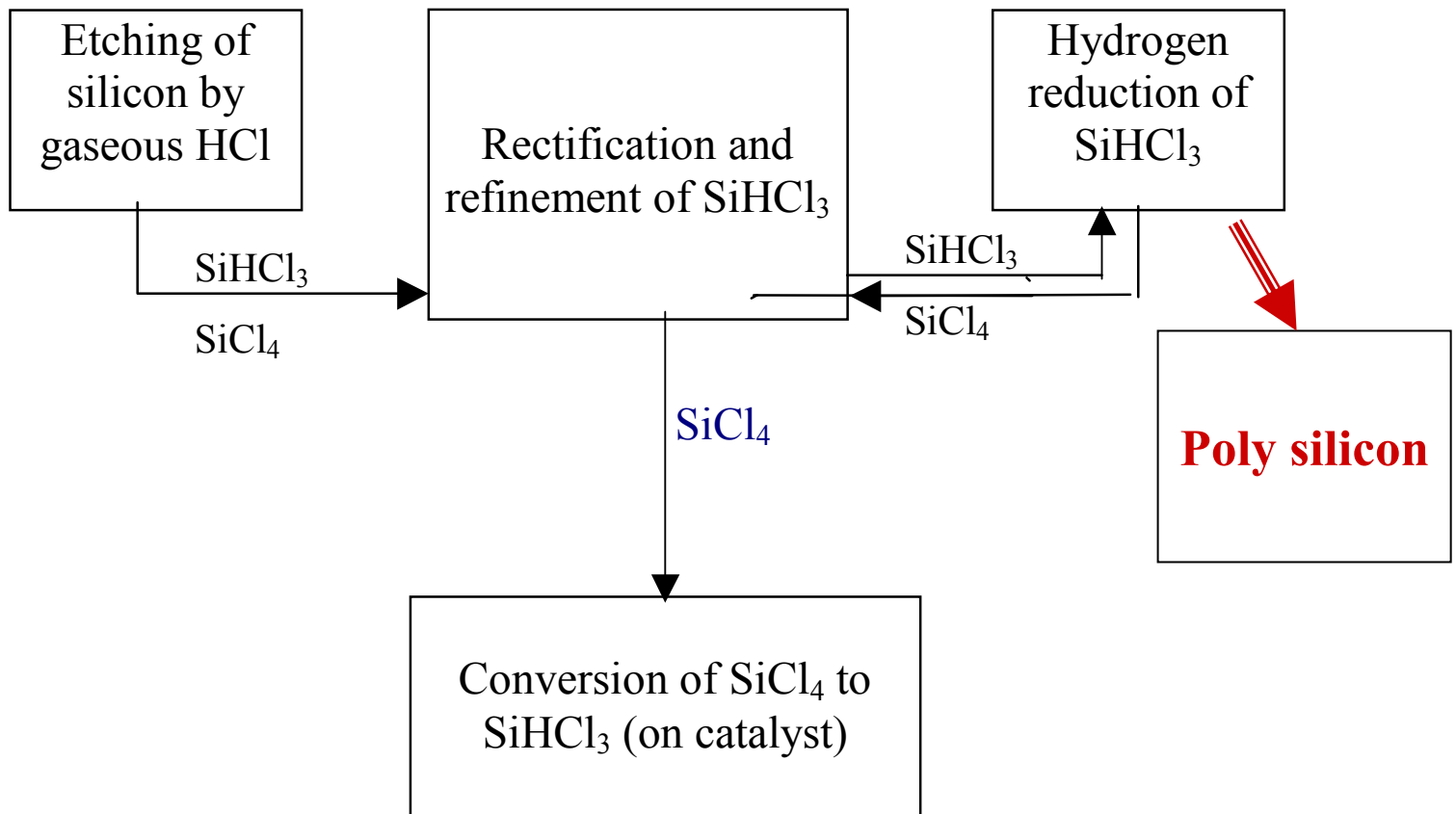


**Схема гидрид-литиевой технологии производства
высокочистого моносилана из тетрахлорида кремния
(ИНХ СО РАН, НЗХК)**

Fluorine processing



24th October 2006



The yield of process ($\sim 35\%$) is near theoretical.

The alternative ways for catalytic conversion:

Conversion of SiCl_4 in reactor
of etching

The low-temperature energy-
stimulated processes
of SiCl_4 conversion